

ROK 5

№
6

CENA 2 ZŁ.

RADIO-AMATOR POLSKI

W TYM NUMERZE:

Hemisonos

Oscylograf amatorski

Promieniowanie

kosmiczne

Pomiary neonówką

etc.



WARSZAWA

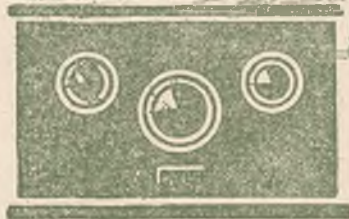
CZERWIEC

1931 R.

100%-we WAKACJE

przy zapewnieniu stałego
kontaktu z całym światem,

daje idealny, trzylampowy
RADJOODBIORNIK 3 LE



3 LE

POLSKIE ZAKŁADY MARCONI S.A.

- WARSZAWA, Dyrekcja i Fabryka ul. NARBUTTA 29.
- Salon Demonstracyjny: W A R S Z A W A
ul. MARSZAŁKOWSKA 142.
- KATOWICE, Dworcowa 16.
- ŁÓDŹ, Piotrkowska 84.
- LWÓW, Akademicka 14.

RADIO-AMATOR

MIESIĘCZNIK POPULARNO-TECHNICZNY

ZATWIERDZONY PRZEZ MINISTERSTWO WYZNAŃ RELIGIJNYCH I OŚWIECENIA PUBLICZNEGO

REDAKTOR REDAKCJA i ADMINISTRACJA WYDAWCA:

Inż. K. Siennicki Warszawa, Chmielna 29 „Wydawnictwa Radjowe“
Tel. 306-01. Sp. z ogr. odp.

PRENUMERATA KWARTALNA ZŁ. 5.— KONTO P. K. O. 15.850.

ROK V

CZERWIEC 1931

№ 6

S P I S R Z E C Z Y

1. James Clerk Maxwell — *Ignacy Friede* — . . . 242
2. Promieniowanie kosmiczne — *Dr. Prof. Konstanty Zakrowski* . . . : 244
3. Hemisonos (3-lampowy odbiornik sieciowy) — *Zb. Witkowski* 248
4. Przebiegi odbijania się fal el. - magn. od warstwy Heavisida — *Eug. Jurkowski* 257
5. Oscylograf amatorski — *Inż. St. Zieliński* 260
6. Wzmocnienie rzeczywiste — *Inż. Aleksander Launberg* 265
7. Gazowane lampy prostownicze na wysokie napięcie — *Inż. J. Braun* 267
8. Zastosowanie fal ultrakrótkich — *Wł. Arn. Trembiński* 270
9. Toroidy jako dławiki — *Inż. St. Zieliński* 272
10. Ilościowe pomiary elektryczne neonówką—*J. Widawer* 274
11. Ze świata 278
12. Z naszej korespondencji 279

Wszelkie rękopisy nadsyłane do redakcji są zawsze życzliwie rozpatrywane. Pod względem formy uprasza się pisać tylko na jednej stronie arkusza i nadto zostawiać z boku margines. Rysunki mogą być wykonane odręcznie w ołówku, byle na osobnym arkuszu.

James Clerk Maxwell

Dnia 13 czerwca upływa sto lat od urodzin Jamesa Clerka Maxwella — genialnego twórcy teorii promieniowania elektromagnetycznego. Z racji tej korzystamy z okazji by, podać krótki jego życiorys.

James Clerk Maxwell, urodzony dn. 13 czerwca 1831 roku, był synem Johna Clerka Maxwella. Ojciec, jego ziemianin szkocki, posiadał nader wszechstronną kulturę i wielkie umiłowanie przyrody, które wcześniej wszczepił swemu synowi, na którego posiadał wpływ bardzo trwały i gruntowny. To wczesne obudzenie określonych upodobań i umiowania nauki nader szybko wydało pierwsze owoce. Oddany do gimnazjum, czyli t. zw. akademji w Edynburgu już w 14 roku życia dokonuje pierwszego odkrycia z dziedziny matematyki. Popularną dzisiaj metodę wykreślenia elipsy za pomocą 2 szpilek i nitki zawdzięczamy właśnie młodemu Maxwellowi, który uogólnił ją następnie na większą ilość ogniskowych oraz takich krzywych, których wielokrotności od 2 ogniskowych mają sumę niezmienną. Ta pierwsza praca Marxwella została przedłożona Królewskiemu Towarzystwu Naukowemu w Edynburgu przez Forbesa.

W roku 1850 wstępuje Maxwell na Uniwersytet w Cambridge, gdzie w 1853 roku uzyskuje stopnie naukowe i obejmuje w jednym z Colledge w Cambridge wykłady fizyki i astronomji. Następnie otrzymuje katedrę w uniwersytecie w Aberdeen, później zaś w King's Colledge w Londynie. W międzyczasie ogłasza kilka 'samodzielnych' prac z dziedziny matematyki i fizyki. Jednakże nieśmiertelną sławą okryło J. C. Marxwella dzieło „*Treatise on Electricity and Magnetism*“ (O elektryczności i magnetyzmie). Praca ta zrodziła się pod wyraźnym wpływem badań i dociekań Michała Faraday'a. W przedmowie do pierwszego wydania swego dzieła powiada J. C. Maxwell:

„Sposób ujęcia tej pracy różni się znacznie od większości doskonałych dzieł o elektryczności publikowanych przeważnie w Niemczech: może się zdawać, że nie uwzględniłem wcale dociekań wielu znakomych

elektryków i matematyków. Spowodowane zostało to tem, że zaczynając studia nad elektrycznością postanowiłem nie czytać żadnej pracy matematycznej na ten temat. dopóki nie zgłębię do dna *doświadczalnych badań Faradacja nad elektrycznością*. Wiedziałem o istnieniu różnicy w poglądach na zjawiska elektryczne pomiędzy Faradayem a matematykami tak że ani on ani tamci nie byli zadowoleni z wzajemnych wyrażen. W miarę tego jak posuwałem się w studjowaniu Faraday'a, spostrzegłem, że jego sposób przedstawienia zjawisk jest jednak matematyczny, chociaż nie wyraża się w konwencjonalnej formie symbolów matematycznych. Przekonałem się, że jego idee mogą być ujęte w zwykłą formę matematyczną i w ten sposób zostać przyrównane do wyrażen matematyków zawodowych*).

Pewne zatrzeżenia, jakie czyni w przedmowie J. C. Maxwell, co do studjowania innych dzieł, aż do chwili wyczerpującego poznania prac Michała Faraday'a, tłomaczy się jego niechęcią do wszelkiej pseudonauki, szukającej poklasku dla chwilowych korzyści, bez szczerego umiłowania czystej wiedzy. Warto zaznaczyć w tem miejscu niewiarogodny wprost kontrast, jaki istniał pomiędzy obydwoima genialnemi badaczami, którzy się tak nadzwyczajnie uzupełnili. Michał Faraday był synem ubożego kowala (1791 — 1867) przeszedł różne koleje życia od praktykanta introligatorskiego i pomywacza laboratoryjnego aż do katedry uniwersyteckiej i godności członka Akademji Nauk w Londynie, wszystko zawdzięczał wyłącznie sobie, swej pracy, umiłowaniu wiedzy i potędze swego fenomenalnego geniuszu; zaś James Clerk Maxwell był umysłem wspaniale wyszkolonym od

*) Przekład francuski *Traité d'électricité et de magnétisme par J. Clerk Maxwell*, M. A. 1885. — Préface de la première édition.

dzieciństwa, który otrzymał nader staranne wychowanie i wykształcenie. To co Michał Faraday wykrył i stworzył swym szóstym zmysłem, swą genialną intuicją, to James Clerk Maxwelle ujął w zwartą postać matematyczną i wysnuł wnioski, które Faraday ledwie tylko przeczuwał. Bez najmniejszej przesady można powiedzieć, że tak, jak Faraday zżył się z największymi tajnikami przyrody, tak Maxwell zżył się z najzawilszymi arkanami matematyki.

Jednym z kardynalnych wniosków, jakie wynikały z teorii Faraday - Maxwella było istnienie fal elektromagnetycznych, rozchodzących się z szybkością światła. Pięknym potwierdzeniem tego była praca zgasłego przedwcześnie Henryka Hertza; praktyczne zaś zastosowanie nowej zdobyczy, stanowiącej dziś bogatą dziedzinę radjofonji, zrealizowali niezależnie od siebie najpierw Popoff, później zaś w szerszym znacznie zakresie Marconi.

Jak do każdej teorii, każdego wielkiego geniuszu ludzkiego, do wniosków, wynikających z teorii Maxwella, odnoszono się początkowo nieufnie. Najwięcej zastrzeżeń budziła jego elektromagnetyczna teoria światła. Późniejsze badania, aczkolwiek wniosły znaczne zmiany do genialnej teorii Faraday'a — Maxwella, potwierdziły ją nieomal w całej rozciągłości i posłużyły jako kościec do kosmicznych teorii Einsteina. Chociaż teoria napięć w eterze została przez nowoczesną naukę zupełnie odrzucona, jednakże wiekopomne dzieło Maxwella nie straciło do dziś na aktualności. Elektromagnetyczna teoria światła, oraz teoria pól elektromagnetycznych tryumfują dziś niepedziecinie.

Z innych wielkich prac Maxwella warto wspomnieć o jego teorii pierścieni Saturna, które według niego nie mogą być jednorodne, lecz składają się z mnóstwa poszczególnych brył, zbiorowo krążących dokoła planety. Badania astronomiczne, przy pomocy nowoczesnych urządzeń optycznych, zdaje się potwierdzać świetny rachunek matematyczny.

Podstawowe swoje dzieło napisał James Clerk Maxwelle we wsi rodzinnej, dokąd się usunął w roku 1868, pozostawiając wszelką działalność pedagogiczną. Jak większość genialnych badaczy angielskich był James Clerk Maxwell świetnym popularyzatorem

nauki. Jego książka „Mater and Motion” (Materja i Ruch—przekład prof. S. Dicksteina) jest po dzień dzisiejszy arcydziełem głębokiego, zwartego i jasnego wykładu.

Jako człowiek wyróżniał się James Clerk Maxwell niespolitą energią pracy i wyjątkową skromnością. Nie szukał poklasku, ani uznania, zapatrzony w czystą naukę i poznanie.

James Clerk Maxwell zmarł po krótkiej chorobie w 1879 roku, w wieku lat 48. Drukie wydanie jego dzieł wyszło już po śmierci, aczkolwiek Maxwell intensywnie pracował nad jego korektą, zamierzając uczynić niejedną zmianę. Olbrzymi wysiłek myślowy, niezbędny do objęcia tak wielkiej dziedziny zjawisk, krótki zaś czas życia spowodowały, że dzieło jego nie jest jednolite i wymaga nader gruntownego przygotowania naukowego, aby je opanować i przetrwać.

James Clerk Maxwell jest bezsprzecznie jednym z największych badaczy i najgłębszych myślicieli w dziejach nauki.

Ignacy Friede.

KOMPLETY ROCZNIKÓW

„RADJO - AMATORA POLSKIEGO”

za rok

1927/8; 1929; 1930

Dla szkół i wojska

Do nabycia w administracji

R. A. P. CHMIELNA 29

W cenie po zł. 15

Za zaliczeniem pocztowym

zł. 18. 20

Promieniowanie kosmiczne

(Odczyt wygłoszony w „Polskiem Radju” 1.V.1951 r.)

Najdłuższymi falami elektromagnetycznymi są fale radiowe wielkich stacyj radiotelegraficznych, a najkrótszymi — niezbadane dotąd fale promieniowania kosmicznego, które budzą obecnie tak wielkie zaciekawienie na świecie, a zbadanie których da nauce możność posunięcia o ogromny krok naprzód wiedzy o budowie materji i pozwoi, niewątpliwie, dokonać wielkich wynalazków.

Czem jest to promieniowanie kosmiczne, jak go wykryto i skąd pochodzi - pisze autor w artykule niniejszym na podstawie ostatnich wyników badań i hipotez.

Historja fizyki notuje niejednokrotnie daty odkryć nowych rodzaj promieni, np. promieni ultrafioletowych, katodowych i t.p. Każda taka data stanowi ważne zdarzenie w historii nauki, zarówno ze względów praktycznych jak i teoretycznych. Ze względów teoretycznych głównie dlatego, że za pomocą różnych promieni badamy i poznajemy tajemnice budowy materji. Przypomnijmy sobie, jak ważne pod tym względem usługi oddały nam zwykłe promienie świetlne, przy pomocy których, w postępowaniu, które się nazywa analizą widmową, odkryto wiele nowych pierwiastków, zbadano skład chemiczny ciał niebieskich i t. p. Dla badań tego rodzaju szczególną wagę posiadają promienie o krótkiej długości fali, a przedewszystkiem promienie Röntgena. Przy ich pomocy sięgnięliśmy głęboko w tajniki budowy atomu, tudzież rozpoznaliśmy wiele szczegółów układu atomów w kryształach. Epokowe pod wieloma względami odkrycie ciał promieniotwórczych obdarzyło nas nowymi rodzajami promieni. Niektóre z nich, na podobieństwo promieni katodowych, są utworzone przez naelektryzowane cząstki materialne, obdarzone bardzo szybkim ruchem; są to tak zwane promienie *alfa*, polegające na ruchu cząstek naelektryzowanych dodatnio, tudzież promienie *beta*, które stanowią rój szybko się poruszających cząstek ujemnych. Niematerialnymi natomiast są promienie *gamma*, które stanowią, podobnie jak promienie Röntgena, rodzaj krótkofalowego światła, o długości fali jeszcze krótszej. Badanie zjawisk promieniotwórczych naprowadziło nas na ślad jeszcze innych promieni, które mamy zająć się dzisiaj pokrótce. Nazwa tych promieni nie jest jeszcze ustalona ostatecznie. Niekiedy

nazywamy je promieniami kosmicznymi, biorąc na uwagę fakt, że dochodzą one do ziemi z poza atmosfery ziemskiej. Również do pewnego stopnia utarta jest nazwa promieni „przenikliwych”, co pochodzi stąd: że posiadają one w bardzo wysokim stopniu zdolność przechodzenia czyli przenikania przez grube nawet warstwy ciał materialnych. Promienie te są jeszcze więcej przenikliwe od promieni gamma, które do niedawna uchodziły za najbardziej przenikliwe ze wszystkich znanych rodzaj promieni. Z tego względu promienie kosmiczne noszą niekiedy miano promieni *ultragamma*.

Promieniowanie kosmiczne wykrywamy i badamy zazwyczaj w następujący sposób. Naczynie szczelnie zamknięte, napełnione powietrzem, a niekiedy zgęszczonym gazem, zawiera w swem wnętrzu doskonale izolowany elektrometr. Naczynie to jest sporządzone z grubej blachy; w jednej z jego ścian osadzony jest mikroskop, przez który obserwujemy położenie wskazówki elektrometru. Udzieliwszy elektrometrowi elektrycznego ładunku, obserwujemy odchyłoną na skutek tego ładunku wskazówkę przez czas dłuższy. Zobaczymy, że odchylenie się zmniejsza z biegiem czasu, to znaczy, że elektrometr traci powoli nabój elektryczny. Nabój ten uchodzi poprzez powietrze, znajdujące się w naczyniu, z elektrometru do ziemi. Inaczej mówiąc, powietrze w naczyniu przewodzi w małym stopniu elektryczność; powietrze jest zjonizowane, gdyż mechanizm przewodzenia elektryczności w powietrzu i w innych gazach polega zawsze na istnieniu i ruchu naelektryzowanych cząstek, które nazywamy jonami. — Mogłoby się wydawać, że jonizacja zaobserwowana w naczyniu zamkniętem

jest spowodowana przez ślady ciał promieniotwórczych, jakie może zawierać w sobie materiał, z którego jest zbudowane naczynie; albo też, że przenikliwe promienie gamma, wysyłane przez promieniotwórcze składniki atmosfery albo skorupy ziemskiej, przebijają ściany naczynia i wywołują w jego wnętrzu jonizację powietrza. Jednakowoż czynniki powyżej wymienione nie wystarczają do wywołania jonizacji w tym stopniu, w jakim ona występuje. Należy ją zatem, przynajmniej w pewnej mierze, przypisać promieniowaniu nowego rodzaju, które przenika przez ściany naczynia. Promieniowanie to nie pochodzi od ciał promieniotwórczych, chociaż podobnie jak promienie gamma, tudzież jak promieniowanie Röntgenowskie, wywołują jonizację gazów. Ponieważ promieniowanie to przechodzi przez ściany naczynia, jest zatem promieniowaniem przenikliwym. Jest nawet bardzo przenikliwym; przyrząd cały można otoczyć nawet grubą warstwą ołowiu: zabieg taki spowoduje tylko nieznaczne zmniejszenie stopnia jonizacji powietrza wewnątrz.

— Badania takie datują się od roku 1903. Ważny etap tych badań stanowi stwierdzenie faktu, że natężenie nowo odkrytego promieniowania, mierzone stopniem jonizacji, jakie ono wywołuje w opisanym przed chwilą przyrządzie, zwiększa się w miarę oddalania się od powierzchni ziemi. Fakt ten stwierdzono w licznych ekspedycjach naukowych wysokogórskich, tudzież balonowych. W takich ekspedycjach zasłużył się niezmiernie niemiecki badacz Hess. W jednej ze swych ekspedycji wznosił się on ze swymi przyrządami do wysokości przeszło dziewięć kilometrów. Znany amerykański badacz Millikan konstruował niezmiernie kunsztowne aparaty, które rejestrują automatycznie stopień jonizacji powietrza w naczyniach zamkniętych, a zatem rejestrują również natężenie promieniowania kosmicznego. Aparaty takie Millikan umieszczał w balonach pilotowych, które wznosiły się do wysokości przeszło 15 kilometrów.

Z badań przeprowadzonych w ten sposób wynikało, że natężenie promieniowania kosmicznego zwiększa się naogół w miarę oddalania się od ziemi. Z tego faktu wyprowadzamy wniosek, że promieniowanie kosmiczne dochodzi do ziemi z zewnątrz, z poza atmosfery ziemskiej, tudzież, że atmosfera ziemska osłabia, czyli pochłania w pewnym stopniu promieniowanie kosmiczne.

Proces pochłaniania, wspólny wszystkim rodzajom promieniowania, polega na tem, że promieniowanie, rozchodząc się w materji, zamienia się stopniowo na ciepło.

Najważniejsze ilościowe dane, odnoszące się do pochłaniania promieniowania kosmicznego przez ciała materialne, zdobyto za pomocą pomiarów jego natężenia w głębokich jeziorach, a to zależnie od głębokości zanurzenia przyrządów mierniczych.

Do takich pomiarów nadają się jeziora wysokogórskie, zasilane wodą, utworzoną ze stopionego śniegu, zalegającego w górach. Jeziora takie nie zawierają ciał promieniotwórczych, które własnem promieniowaniem mogłyby utrudnić albo zgoła uniemożliwić pomiary natężenia promieniowania kosmicznego.

W pomiarach tego rodzaju najwięcej zasług położył Millikan wraz ze swymi uczniami. Zanurzał on przyrządy miernicze do głębokości kilkudziesięciu metrów w różnych wysokogórskich jeziorach amerykańskich. Rekord jednak pod tym względem zdobył niemiecki uczyony Regener, który dotarł w jeziorze badeńskim do głębokości dwustu kilkudziesięciu metrów.

Pomiary takie, w których ciężki aparat mierniczy ma być przez dłuższy czas zanurzony w wodzie, w różnych, a znanych głębokościach, są niezmiernie trudne i wymagają dużego nakładu pracy i kosztów. Jednakowoż są one niezbędne. Albowiem promieniowanie kosmiczne jest tak bardzo przenikliwe, że po przebyciu całej atmosfery ziemskiej, tudzież warstwy wody o grubości przeszło 230 metrów, daje się jeszcze konstatować i mierzyć. Żeby wywołać takie samo pochłonięcie w warstwie ciała stałego należałoby użyć pancerzy o grubości, która jest praktycznie niemożliwa.

Rezultaty pomiarów pochłaniania jakiegokolwiek jednolitego promieniowania streszczamy zazwyczaj liczbowo przy pomocy wielkości, które się nazywa współczynnikiem pochłaniania. Znając ten współczynnik, można obliczyć, w jakim stopniu zostanie pochłonięte badane promieniowanie po przejściu przez warstwę ciała materialnego o znanej grubości i gęstości. Otóż, odnośnie do promieniowania kosmicznego stwierdzono, że posiada ono nie jeden lecz kilka współczynników pochłaniania. Innemi słowy, promieniowanie kosmiczne nie jest jednolite, lecz składa się z kilku rodzajów, z których każdy posiada in-

ny współczynnik pochłaniania. Oczywiście jest rzeczą, że te rodzaje, które posiadają większy współczynnik pochłaniania, zostają w materji wcześniej osłabione i wygaszone. Do głębokich warstw jezior dochodzą tylko najprzenikliwsze składniki promieniowania kosmicznego, które posiadają najmniejszy współczynnik pochłaniania.

Z innych własności promieniowania kosmicznego należy wymienić jeszcze następujące. Z pomiarów natężenia, dokonywanych na powierzchni ziemi w różnych porach roku i doby, przekonano się, że promieniowanie kosmiczne nie posiada swego źródła na słońcu, albowem jego natężenie jest jednakowe w dzień i w nocy, zimą i latem. Położone ziemi względem drogi mlecznej na niebie, tudzież względem mgławicy, również nie wywiera wpływu na natężenie tego promieniowania, podobnie jak położenie geograficzne miejsca na ziemi, w którym wykonywamy pomiary. Według Millikana jedyny wpływ, zresztą bardzo nieznaczny, na natężenie promieniowania kosmicznego wywierają zmiany ciśnienia atmosferycznego. Wreszcie należy nadmienić, że z pomiarów stopnia jonizacji, wywołanej przez promieniowanie kosmiczne na powierzchni ziemi, można obliczyć, ile energii to promieniowanie dostarcza ziemi. Energia ta nie jest bynajmniej mała, gdyż równa się około jednej dziesiątej tej energii, jaka dochodzi do ziemi na skutek zwykłego promieniowania wszystkich gwiazd razem.

Takim w ogólnym zarysie był stan naszej wiedzy faktycznej o promieniowaniu kosmicznem, jakie zdobyto w przeciągu 26 lat (1903 — 1929) żmudnych i trudnych badań. Badaniom tym towarzyszyły dociekania, mające na celu przeniknięcie tajemnicy co do istoty badanego promieniowania, tudzież co do jego źródła. Biorąc na uwagę bardzo wielką przenikliwość promieniowania kosmicznego zrozumiemy, że z konieczności nasunąć się musiał pogląd, że promieniowanie to jest promieniowaniem tego samego rodzaju, jak promieniowanie gamma. Wiadomo, że promienie Röntgena, znacznie więcej przenikliwe aniżeli światłne albo ultrafioletowe, posiadają długość fali krótszą od najkrótszych promieni ultrafioletowych. Promienie gamma, jeszcze więcej przenikliwe aniżeli promienie Röntgena, posiadają długość fal krótszą od długości fali promieni Röntgena. Ponieważ promieniowanie kosmiczne jest jeszcze więcej przeni-

klive, wynosimy stąd że długość fali tego promieniowania jest jeszcze krótsza od długości fali nawet najkrótszych promieni gamma. Możemy pokusić się o wyznaczenie drogi pośrednią długości fali promieni kosmicznych. W tym celu opieramy się na znanej z dziedziny promieni Röntgena i promieni gamma zależności współczynnika pochłaniania od długości fali. Ta droga prowadzi do wniosku, że znaczna część promieniowania kosmicznego utworzona jest przez składnik którego długość fali jest około jedenastej milionów razy mniejsza od długości fali świetlnej, która wzbudza w naszym oku wrażenie światła żółtego. Inne składniki promieniowania kosmicznego, o jeszcze krótszej długości fali, stanowią ostateczny kraniec widma elektromagnetycznego promieniowania. Na drugim krańcu stoją, jak wiadomo, fale elektryczne (radjowe); ogniwami pośrednimi są promienie światłne, promienie Röntgena i promienie gamma.

Zapytajmy obecnie, jaki to może być proces fizyczny, w którym się wytwarzają fale o tak krótkiej długości fali. Odpowiedź, hypotetyczną zresztą, znajdujemy we współczesnej teorii budowy atomu. Atomy składają się z tak zwanych *protonów* (cząstki naelektryzowane dodatnio, z których każda posiada masę równą masie jednego atomu wodoru), tudzież z *elektronów* (cząstki naelektryzowane ujemnie o masie bardzo małej w porównaniu do masy protonu). Weźmy np. na uwagę atom pierwiastku, który się nazywa helem (helium). Składa się on z czterech protonów i z czterech elektronów. Jego atomowa masa nie równa się jednak czterokrotnej masie protonu, lecz jest od tej wielokrotności o pewien procent mniejszą. W procesie wytwarzania się czyli syntezy atomu helu z czterech protonów i z czterech elektronów następuje zatem strata masy. Według najnowszych poglądów na istotę masy, a mianowicie według zasady równoważności masy i energii, stracie tej towarzyszy wytworzenie się pewnego określonego kwantum energii. Uczynmy hipotezę, że energia ta jest energią promienistą. Z teorii kwantów energii wynika, że także kwantum energii posiada ściśle określoną długość fali, którą można z łatwością obliczyć. Dostajemy w ten sposób długość fali, która zgadza się dobrze z tą długością, jaką posiada najbogatszy w energię składnik promieniowania kosmiczne-

go. Na podstawie tej zgodności stajemy się uprawnieni do wygłoszenia hipotezy, że istnienie w atmosferze ziemskiej tego składnika promieniowania kosmicznego jest sygnałem, który daje nam znać o tem, że w kosmosie, poza atmosferą ziemską, odbywa się proces syntezy atomów helu z protonów i z elektronów, proces, którego, jak wiadomo, nie umiemy naśladować w naszych laboratorjach.

Snując dalej nić takiego rozumowania, dochodzimy do wniosku, że inne składniki promieniowania kosmicznego sygnalizują nam istnienie procesów syntezy innych pierwiastków. Według Millikana pierwiastkami temi są te, które są we wszechświecie najwięcej rozpowszechnione, a więc tlen, żelazo, krzem

Millikan, akceptując bez zastrzeżeń pogląd, że promieniowanie kosmiczne nie wytwarza się na słońcu ani na żadnej z gwiazd i mgławic, wygłasza w dalszym ciągu hipotezę, że synteza atomów z protonów i z elektronów odbywa się w międzycywilizacyjnej przestrzeni, w której rzadka unoszą się protony i elektrony; synteza zachodzi w wypadku, gdy te elementy spotykają się ze sobą.

Hipoteza, która głosi, że promieniowanie kosmiczne jest dowodem istnienia procesu syntezy atomów, ogarnia jak widać szerokie horyzonty i usiłuje przeniknąć tajemnicę procesu, do której zbliżyć się na innej drodze nie zdołaliśmy dotąd zupełnie. Jednakowoż hipoteza ta nie stanowi całkowicie wykończonych teorii, jest raczej programem takiej teorii. Okazały to badania ostatnich już czasów, dokonane w Państwowym Zakładzie Fizycznym niemieckim, przez Bothe'go, Kohlhörstera tudzież Rossiego. Badacze ci postawili tezę, że pogląd, według którego promieniowanie kosmiczne dochodzi do ziemi wyłącznie jako krótkofalowe promieniowanie elektromagnetyczne, nie jest ugruntowany w dostatecznym stopniu. Należy pamiętać, że badania nad dobrze już poznaną dziedziną promieni Röntgena i promieni gamma ustaliły, że promieniowanie krótkofal., rozchodząc się w gazach, wyzwala z nich elektrony zwane wtórnymi. Elektrony te nabywają w procesie wyzwiania się z atomów wielkich prędkości, tem większych, im krótsza jest długość fali wyzwalającej. Wtórne elektrony, poruszając się w gazie, wytwarzają z jego cząstek jony dodatnie i ujemne. Jeżeli promieniowanie kosmiczne jest pierwotnie promieniowaniem krótkofalowym, to nawet i w tym przypadku

winno mu w atmosferze towarzyszyć promieniowanie korpuskularne wtórne, w postaci elektronów obdarzonych bardzo wielkimi prędkościami, odpowiednio do faktu, że długość fali wyzwalającej jest bardzo krótka. Otóż badacze, których nazwiska wymieniliśmy przed chwilą, stwierdzili istnienie w promieniowaniu kosmicznym promieniowania korpuskularnego, równocześnie jednak postawili pytanie, czy to promieniowanie jest istotnie tylko promieniowaniem wtórnym, wzbudzonem w atmosferze przez pierwotne krótkofalowe ultra gamma promieniowanie.

Pochłanianie przez materję tego korpuskularnego promieniowania można mierzyć wprost przy pomocy bardzo uciążliwej metody liczenia korpuskułów, z których ono się składa, bez uciekania się do efektu pośredniego jonizacji. Na podstawie takich pomiarów badacze, o których mowa, wygłaszają twierdzenie, że promieniowanie kosmiczne w atmosferze ziemskiej zawiera dwa składniki; jeden z nich stanowi, zgodnie z teorią Millikana elektromagnetyczne krótkofalowe promieniowanie ultra gamma. Drugi natomiast składnik jest promieniowaniem korpuskularnym, które nie jest jednak wtórnym promieniowaniem wytworzonym przez składnik pierwszy. Promieniowanie to wchodzi do atmosfery ziemskiej już jako rój elektronów obdarzonych tak olbrzymimi prędkościami, że mogą one przebyć całą atmosferę, nie tracąc jeszcze całkowicie swojej prędkości. Twierdzenie to napotyka wprawdzie na trudność. Rój elektronów, wpadający do atmosfery ziemskiej, winien ulegać działaniu magnetyzmu ziemskiego, na skutek którego natężenie promieniowania kosmicznego ulegałoby zwiększeniu w pobliżu biegunów ziemskich. Otóż dotychczasowe pomiary, jak już wiemy, nie wykazały zupełnie wpływu położenia geograficznego na natężenie promieniowania kosmicznego. Jeżeli jednak dalsze badania usuną tę trudność i ugruntują twierdzenie, o którym jest mowa, wówczas pociągająca teoria Millikana, która nam rzuca pierwsze pomosty do poznania zupełnie nieznanego procesu syntezy atomów, będzie musiała ulec gruntownej rewizji. Być może, że wyjdzie z niej zwycięsko. Rozstrzygną o tem przyszłe badania, na które, dzięki wytrwałości i energii różnych badaczy, nie trzeba będzie zapewne czekać zbyt długo. Dr. prof. Konstanty Zakrzewski,

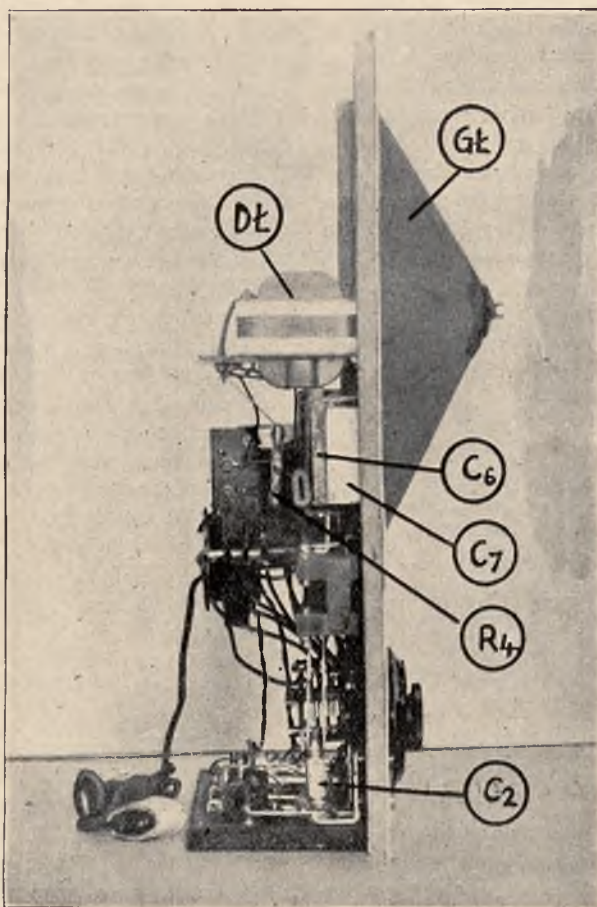
skrzynki, której koszt rzadko kiedy wynosi mniej jak 20% ceny odbiornika wraz z lampami.

UKŁAD ELEKTRYCZNY.

Układ ideowy na rys. 1 wskazuje że „Hemisonos“ jest odbiornikiem trzylampowym zasilanym całkowicie z sieci prądu zmiennego. Pierwsza lampa jest lampą detektorową, druga i trzecia są lampami wzmacniającymi, czwarta lampa, posiadająca posiatkę łączoną z anodą, należy do zasilacza odbiornika.

stanowi uzwojenie antenowe gdy antenę włączymy do gniazda A_1 . Prócz tego uzwojeniem antenowym może być połowa cewki L gdy antenę włączymy do gniazda A_2 (kropkowana). W pierwszym wypadku antena jest sprzężona z obwodem strojonym LC_1 w przekładni 1 do 4, a w drugim wypadku w przekładni 1 do 2. Siatka lampy detektorowej także jest sprzężona z obwodem strojonym LC_1 — autotransformatorowo, ale w przekładni zniżającej w stosunku 2 do 1.

Kombinacja wzajemnych sprzężeń obwodu strojonego, z anteną i siatką lampy,



Rys. 2. Widok aparatu z boku.

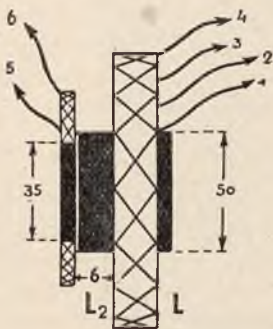
Obwód strojony lampy detektorowej tworzy cewka L oraz kondensator zmienny C_1 . Cewka L jest autotransformatorem antenowo-siatkowym, uziemionym w środku. Część autotransformatora objęta klamrą L_1

znakomicie podwyższa selektywność odbiornika, a dzięki uziemieniu cewki L w środku, możemy nieodłączać uziemienia podczas stosowania głośnika i wzmacniacza do gry z płyt gramofonowych lub z własnego mikro-

fonu, co daje nam wszystkie korzyści uziemienia w tym wypadku, a żadnych niedogodności.

W anodzie lampy detektorowej mamy cewkę reakcyjną L_2 sprzężoną z autotransformatorem L i szeregowo włączony z nią kondensator zmienny C_r , służący do regulowania wielkości sprzężenia zwrotnego, które dodatkowo zwiększa selektywność i siłę odbiornika. Druga lampa jest sprzężona z lampą detektorową transformatorowo, a trzecia lampa z drugą — oporowo-pojemnościowo. Taki układ mieszany wzmacniacza małej częstotliwości jest najbardziej u nas lubiany, gdyż obok dużej stosunkowo wydajności nie wymaga stosowania bardzo dobrych, a więc kosztownych transformatorów, a ewentualne nawet zniekształcenia, powstające w pierwszym i drugim stopniu wzmocnienia, przeważnie się kompensują.

Gdy wzmacniacz odbiornika chcemy stosować do wzmacniania prądów adaptera gramofonowego, należy włączyć adapter do dwóch, specjalnie przeznaczonych do tego celu gniazd, oznaczonych na schemacie cyfrą Gr. Otrzymamy wtedy duże wzmocnienie, gdyż będą pracowały wszystkie lampy odbiornika jako lampy małej częstotliwości.



Rys. 3. Zespół cewek na tale krótsze.

Czwarta lampa należy do zasilacza „Hemisonosa”. Dla zwiększenia jej wydajności, w wypadku stosowania normalnej lampy głośnikowej jako namiastki lampy dwuelektrodowej, należy krótko spiąć siatkę z anodą. System, bowiem, prostowania zastosowaliśmy jednokierunkowy, jako zupełnie wystarczający dla odbiornika trzylampowego. Filtr zasilacza składa się z dławika, kondensatorów C_1 , C_5 , i C_7 , oraz oporów R_1 i R_2 . Kondensator $C_1 = 4$ MF, dławik D_1

i kondensator $C_5 (= 2$ MF) tworzą filtr dławikowy. C_1 blokuje całkowite napięcie wyprostowane, a C_5 tylko część tego napięcia, stosowaną do zasilania anod lamp odbiorczych. Napięcie dla lampy detektorowej otrzymujemy przez włączenie między pierwotne uzwojenie transformatora m. cz. a plus napięcia wyprostowanego i przefiltrowanego—oporu znizającego R_1 , który blokuje kondensatorem C_6 . Ujemne napięcie siatki uzyskujemy przez potencjometryczne włączenie oporu R_3 , zablokowanego kondensatorem C_7 .

SPIS CZĘŚCI.

Aby zbudować „Hemisonos”, który pokazują załączone fotografie, a założenie ideowe którego podaliśmy wyżej, należy zaopatrzyć się w następujące części.

Płyta aluminiowa (lub turbonitowa 3 mm grub.). $270 \times 420 \times 1$ mm,

deseczka montażowa $250 \times 100 \times 10$ mm,

1 kondensator zmienny „mikowy” $C_1 = 500$ cm (Ika),

1 kondensator zmienny „mikowy” $C_r = 250$ cm (Ika),

1 przełącznik 4-ro biegunowy,

1 transformator małej częst. przekł. 1 do 4 (Ika),

2 podstawki lampowe zwykłe,

2 podstawki lampowe 5-cio tulejkowe,

3 podstawki do oporów,

2 kondensatory stałe $C_2 = 200$ cm i

$C_3 = 10000$ cm (Eska),

4 opory próżniowe $R_1 = R_3 = 1$ M Ω ,

$R_2 = 0,1$ M Ω i $R_4 = 0,03$ M Ω

2 skałe 65 mm. średnicy,

1 gałka ze strzałką,

komplet cewek (Ika),

transformator do zasilacza TAZ g 2 — dławik mały lub duży (Ika),

4 kondensatory stałe $C_4 = 4$ MF, $C_5 = 2$ MF, $C_6 = 0,5$ MF, $C_7 = 1$ MF

1 opór druciany 1000 omów lub ceweczka

głośnikowa,

4 gniazda z główkami izolacyjnymi,

4 metry drutu mantażowego,

15 śrub do drzewa 13 mm.,

7 śrub do metalu 10 mm.,

2 metry rurki izolacyjnej 1,5 mm,

1 mtr rurki izolacyjnej 1 mm. średn.,

3 metry sznura oświetleniowego,

1 wtyczka elektryczna do kontaktu,

oraz

mechanizm głośnikowy 4-biegunowy,

OPIS CZĘŚCI.

Każdy kto budował lub ma zamiar budować odbiornik, rozumie, że od jakości części składowych zależą w dużej mierze otrzymane wyniki. Dlatego też niektóre części składowe omówimy szczegółowiej. Przede wszystkim kondensatory zmienne C_1 i C_R , chociaż są t. zw. „mikowe“ jednakże powinny wyróżniać się solidną budową, mieć pewne kontakty między poszczególnymi płytami i zaciskami oraz posiadać dobry chód.

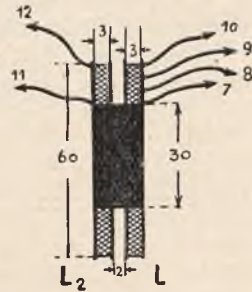
Kondensator C_1 jest kondensatorem strojenia obwodu odbiorczego, a zatem nie może mieć symetrycznych płytek gdyż wyszukiwanie stacyj stałoby się zbyt trudne.

Przełączniki falowe wyrabiane w kraju przez fabrykę, której fabrykat zastosowaliśmy w odbiorniku modelowym, należą do jednych z najlepszych w Europie. Kto posiada inny przełącznik 4-ro biegunowy (12 sprężyn), powinien zwrócić uwagę, przede wszystkim na pewność jego kontaktów, aby ustrzec się potem przed niepotrzebnymi trzaskami, lub „nadliczbowemi“ fadingami.

Przekładnia transformatora małej częstotliw. odgrywa, w układzie mieszanym, rolę drugorzędą. W odbiorniku modelowym zastosowano przekładnię 1 : 4, ale można z tym samym wynikiem stosować przekładnię 1 : 3, lub 1 : 5, albo 1 : 6, pamiętając jednocześnie, że tanie transformatory o dużej przekładni są mało wartościowe pod względem wydajności wzmocnienia.

Szczególą uwagę w odbiornikach sieciowych prądu zmiennego, należy zawsze zwracać na transformator i dławik zasilacza. Od jakości transformatora sieciowego zależy bowiem w dużej mierze koszt filtru, oraz praca całego aparatu. Wszystkie transformatory sieciowe posiadające niesolidną budowę: a więc, źle wykonany i słabo ściśnięty rdzeń, luźne uzwojenia, obok złej izolacji i nieodpowiednich przekrojów: przynoszą raczej szkodę, aniżeli pożytek. Transformator zastosowany w aparacie modelowym posiada 4 uzwojenia oznaczone przy zaciskach cyframi. Uzwojenie dla sieci 220 v. oznaczone jest cyframi 0 i 220. i posiada ono odgałęzienie dla sieci 120 woltowej oznaczone także liczbą. Uzwojenia wtórne są oznaczone liczbami: żarzenia lampy prostowniczej — literą „Z“, anodowe te same lampy

— literą „A“ i żarzenia lamp odbiorczych, posiadające odgałęzienie w środku, oznaczone jest dwoma literami „ZZ“.



Rys. 4. Zespół cewek na fale długie.

Dławik do filtru zasilacza „Hemisonos“a możemy stosować mniejszy, ale o dużej samoindukcji (50 — 35 H. i oporze 3.500 — 1000 omów) gdyż zużycie prądu anodowego jest niewielkie, ale wykonanie dławika musi być bez zarzutu, szczególnie stosuje się to do rdzenia.

Kondensatory blokowe filtru powinny wytrzymywać napięcie przynajmniej 500 woltów. Kondensator $C_4 = 4$ MF lepiej stosować o wytrzymałości na przebicie 650 wolt, gdyż jest on więcej od pozostałych kondensatorów narażony na przeciążenia.

Opór redukcyjny $R_4 = 30000$ omów stosujemy próżniowy, gdyż zużycie prądu anodowego lampy detektorowej jest b. małe, natomiast opór $R_5 = 1000$ omów musimy stosować druciany, gdyż płynie przez niego całkowity prąd zasilacza. Z braku specjalnego oporu drucianego możemy stosować z tym samym wynikiem cewczkę nabiegunkową głośnika.

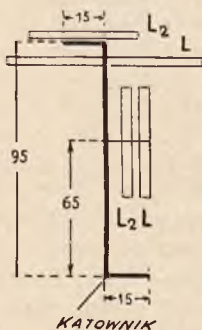
Od starannego wykonania cewek zależy zasięg, czułość i selektywność odbiornika, dlatego też, dla tych wszystkich, którzy mają zamiar wykonać cewki samodzielnie, podajemy szczegółowy opis wykonania.

Autotransformator L dla fal średnich jest cewką „ledjonową“, nawiniętą na wałku 50 mm. średnicy, zaopatrzonym w 11 kołków 10 mm. grubości. Cewka reakcyjna L_2 dla tego samego zakresu jest zwykłą cewczką „wiedeńską“, nawiniętą na celuloidowym szkieletcie 35 mm średnicy. (Rys. 3).

Cewki długofalowe są uzważane masowo na szkieletach sporządzonych z celuloidu; klejonego acetonem: o wymiarach podanych na rys. 4.

Autotransformator dla fal średnich nawijamy drutem grubości 0,5 mm. w podwójnej bawelnie. Ilość zwojów wynosi 48, z odgałęzieniami na 12 i 24 zwoju.

Cewkę reakcyjną dla fal średnich i cewki długofalowe nawijamy drutem 0,3 mm. w oprzędzie jedwabnym. Cewka reakcyjna „wiedeńska“ posiada 30 zwojów. Dla fal długich



Rys. 5. Sposób umocowania względem siebie obu zespołów cewek.

autotransformator posiada 200 zwojów z odgałęzieniami na 60 i 110 zwoju, a cewka reakcyjna ma 70 zwojów.

Po nawinięciu cewek łączymy je w dwa zespoły. Autotransformator średniofalowy osadzamy na cylindrze 50 mm. średnicy i 30 mm. wysokości, do którego z kolei przyklejamy cewkę „wiedeńską“, za pomocą celulozoidu rozpuszczonego w acetonie, tak aby kierunki uzwojeń cewek były zgodne. Autotransformator długofalowy oraz cewkę reakcyjną długofalową, sklejamy stosując między nimi przekładkę 2 mm. grubości. Kierunki uzwojeń w obydwóch cewkach są także zgodne.

Dla łatwiejszej orientacji przy łączeniu cewek w odbiorniku, końcówki obydwóch zespołów ponumerowaliśmy. (rys. 2 i 3)

Zespół dla fal średnich posiada końce oznaczone liczbami od 1 do 6 w następującej kolejności: 1 = początek autotransformatora; 2 = odgałęzienie do anteny (A_1); 3 = odgałęzienie do uziemienia; 4 = koniec autotransformatora. W cewce reakcyjnej: 5 = początek; 6 = koniec. Dla fal długich odpowiednio: 1 = 7; 2 = 8; 3 = 9; 4 = 10, w cewce reakcyjnej: 5 = 11; a 6 = 12.

Wszystkie końcówki cewek, za wyjątkiem 3, 5, 9 i 11. doprowadzamy do sprężyn bocznych przełącznika falowego w kolejności

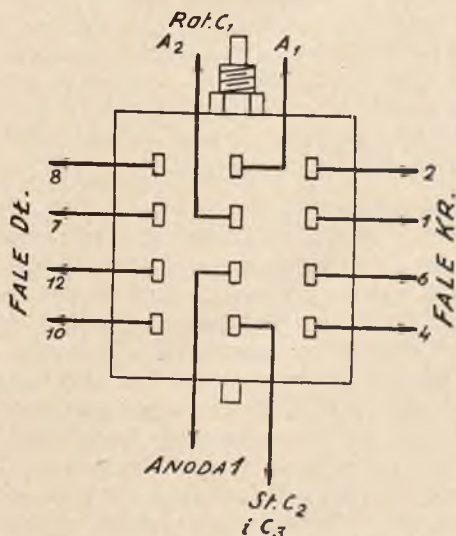
podanej na rys. 6. Środkie autotransformatorów (3 i 9) łączymy z przewodem uziemiowym, a pozatki cewek reakcyjnych (5 i 11) — ze statorem kondensatora reakcyjnego Cr.

Rys. 5 pokazuje schematycznie jak należy umocować cewki na kątowniku, i jakie nadać mu wymiary i kształt, aby zajmowały mało miejsca i nie komplikowały montażu.

MONTAŻ.

Montaż odbiornika nie jest trudny ani specjalnie skomplikowany chociaż cały prawie odbiornik jest zmontowany na płycie metalowej. Należy jedynie pamiętać, że gniazda anteny A_1 , A_2 : jedno adeptera (drugie jest wspólne z uziemieniem) i rotor kondensatora strojenia (C_1), muszą być izolowane

W tym celu w płycie czołowej wiercimy nieco większe otwory aniżeli wynosi średnica gniazd, a gniazda owijamy nitką, którą następnie smarujemy rozpuszczonym celulojdem. Pod nakrętki gniazd podkładamy krążki izolujące. Dlatego właśnie polecamy gniazda z izolacyjnymi kołnierzami (patrz spis części), aby nie szpeciły podkładkami wyglądu zewnętrznego płyty czołowej. Metalowa płyta czołowa posiada mimo to swoje zalety, gdyż zmontowany na niej żasilacz



Rys. 6. Sposób łączenia części składowych z przełącznikiem zakresów.

i pozostałe części są uziemione, odpada zatem duży przewód uziemiający a odbiornik znakomicie się stabilizuje.

Czytelnicy, którzy wolą montować aparat

na płycie izolacyjnej, muszą pamiętać o tem, że wszystkie części które są uzimione przez płytę czołową, należy połączyć z uziemieniem.

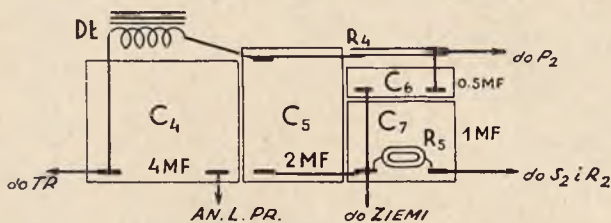
Zarzenie lamp, zarówno odbiorczych jak i prostowniczej, prowadzimy kablem w gumie skrcając go między poszczególnymi lampami, dla zmniejszenia ewentualnego indukowania prądu 50-cio okresowego.

Pozostałe przewody prowadzimy normal-

Przy zastosowanym typie transformatora sieciowego najodpowiedniejsze będą lampy Tungstram V 430, ub Telefunken RGN 354.

Czytelnikom nie orjętującym się w oznaczeniach literowych poszczególnych fabryk, wyjaśniamy że symbole: AG, AR, L i P oznaczają lampy fabryki Tungstram, E i B — Philips, pozostałe zaś symbole są fabryki Telefunken.

Po zdecydowaniu się na jeden z wyżej



Rys. 7. Sposób łączenia części składowych filtra elektrycznego.

nym drutem montażowym, a tam, gdzie występuje niebezpieczeństwo krótkich spięć zasilacza, przewody te izolujemy rurką. Na końcówki cewek także należy naciągnąć kawałki rurki odpowiedniej długości, ale nieco cieńszej, a wszędzie zwracać uwagę na dobrotę kontaktów i solidne lutowanie.

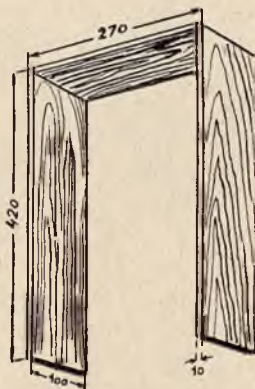
Głośnik przykręcamy na zewnątrz płyty czołowej, a talerz do niego oczywiście sporządzamy samodzielnie ze sztywnego brystolu o wymiarach nie przekraczających szerokości płyty czołowej.

Po zmontowaniu odbiornika, sprawdzamy połączenia przedewszystkiem według schematu montażowego a potem szczegółowo według schematu ideowego i, o ile jest wszystko w porządku, możemy śmiało zaopatrzyć odbiornik w lampy.

Na lampę detektorową polecamy: AG 4100, E 415, REN 1004 lub REN 804. Na pierwszy stopień wzmocnienia AR 4100; E 430; REN 1004 lub REN 804 i na miejscu lampy głośnikowej: P 414; lub L 414, B 409 albo B 409, ewentualnie RE 134.

Do prostowania możemy zastosować dowolną lampę głośnikową małej lub średniej mocy np. L 414, P 410, P 414, B 406. B 409. B 405, lub wreszcie RE 134. Najlepiej natomiast nadaje się do tego celu specjalna lampa prostownicza dwuelektrodowa, gdyż pracuje w warunkach normalnych i nie będzie przeciążana.

podanych kompletów lamp: jednej fabryki lub komplet kombionwany, oczywiście w granicach podanych typów, wstawimy lampy do odbiornika, włączamy antenę do gniazda A₁, uziemienie do gniazda Z, poczem ustawiamy przełącznik na jeden z zakresów i przyłączamy wreszcie odbiornik do sieci oświetleniowej. W przeciągu 10 - 15



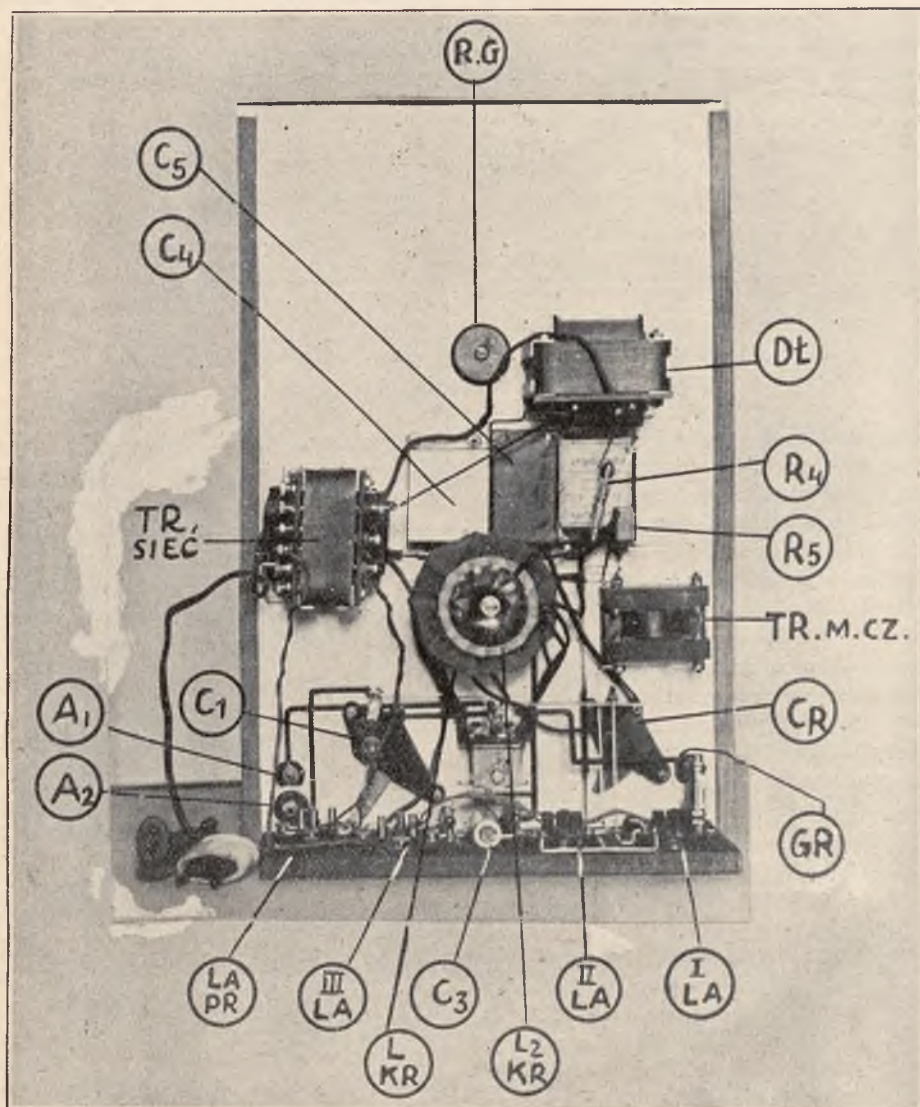
Rys. 8. Rama do aparatu.

sekund lampy z podgrzewaną katodą rozgrzeją się całkowicie i możemy rozpocząć regulację odbiornika. Manipulacja przy odbiorze jest bardzo prosta, ogranicza się bowiem do wyszukiwania stacyj na skali kondensatora C₁ i wzmacniania ich reakcją przez odpowiednie ustawienie kondensatora

C_R . Jest rzeczą bardzo ważną, aby reakcja przechodziła gładko, bez puknięcia. Zastosowany w Hemisonosie obwód reakcyjny zezwala, bez wielkiego nakładu pracy, osiągnąć gładkie przejście punktu krytycznego, wystarczy bowiem zazwyczaj dobrać sprzę-

żżenia cewek wynosiło dla fal krótkich — 6 mm. i dla fal długich 2 mm.

Zwracam uwagę, że zwiększać zbytnio oporu R_4 nie należy, gdyż lampa detektorowa otrzyma małe napięcie anodowe przez co stracimy na zasięgu i sile odbioru.



Rys. 9. Widok aparatu z tyłu.

żenie cewek L i L_2 . Gdy sprzężenie jest niewielkie a reakcja pozostaje jeszcze zbyt ostra, wtedy zwiększamy wartość oporu redukcyjnego R_4 do 0.1 MΩ

W odborniku modelowym optimum

O ile okaże się przy próbie, że brak jest reakcji na którymś z zakresów, należy wówczas zmienić kolejność połączeń końców cewki reakcyjnej, gdyż jest to oznaką, że została ona fałszywie ustawiona w stosunku

do odpowiedniego autotransformatora.

Hemisonos wykazuje zasięg, czułość i moc równorzędną innym dobrym odbiornikom tej samej klasy (z jednym strojeniem) jednakże przede wszystkim zrównoważeniem i selektywnością, bardzo wiele układów przewyższa, a czystość i „timbre“ audycji

szy włączeniu odbiornika, możemy go łatwo usunąć blokując początek wtórnego uzwojenia (S_1) transformatora małej częstotliwości z kotodą (ziemia) kondensatorem 100 — 200cm. pojemności.

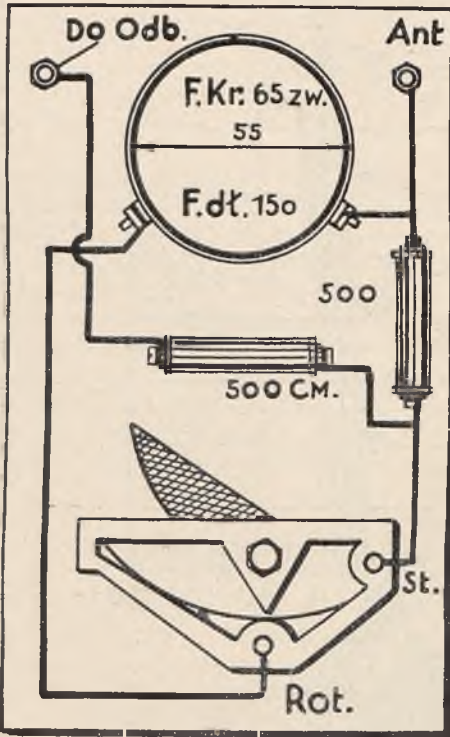
Kondensator ten na schemacie ideowym jest wpunktowany i oznaczony cyfrą C_8 , jest on jednocześnie bocznikiem dla prądów wielkiej częstotliwości, które mogą przenikać przez pojemność kiepskich transformatorów, do wzmacniacza małej częstotliwości.

Eliminator stacji lokalnej, przy autotransformatorowym sprzężeniu anteny z odbiornikiem, najlepiej stosować t. zw. „Kendal“ przedstawiony na rys. 7. Składa się on z cewki, dwóch kondensatorów stałych po 500 cm i jednego kondensatora zmiennego. Kondensator zmienny ma wartość 500 cm. i może być również „mikowy“, cewkę natomiast należy stosować z możliwie grubego drutu dając 5 zw. na fale krótkie, 150 zw. na długie. Eliminator ten przy sprzężeniu anteny autotransformatorem eliminuje b. dobrze stację lokalną nie tłumiąc prawie stacji zagranicznych.

Dla zupełnego wykończenia aparatu oraz zawieszenia go na ścianie wykonujemy ramkę w kształcie litery „U“ o wymiarach podanych na rys. 8, wewnątrz ramkę taką, którą można sporządzić z nieheblowanych desek, wybijamy blachą, a na zewnątrz pokrywamy celuloidem lub innym materiałem. Tylną ścianę tak sporządzonej skrzynki będzie tworzyła ściana pokoju na której zawiesimy odbiornik.

Zwolennicy muzyki gramofonowej, przy stosowaniu Hemisonos'a jako wzmacniacza adapterowego, powinni stosować regulator siły dźwięku przy adapterze. Adapter włącza się jak pokazuje schemat montażowy do gniazda uziemienia i obok położonego gniazda połączonego bezpośrednio z siatką lampy detektorowej.

Zb. Witkowski.

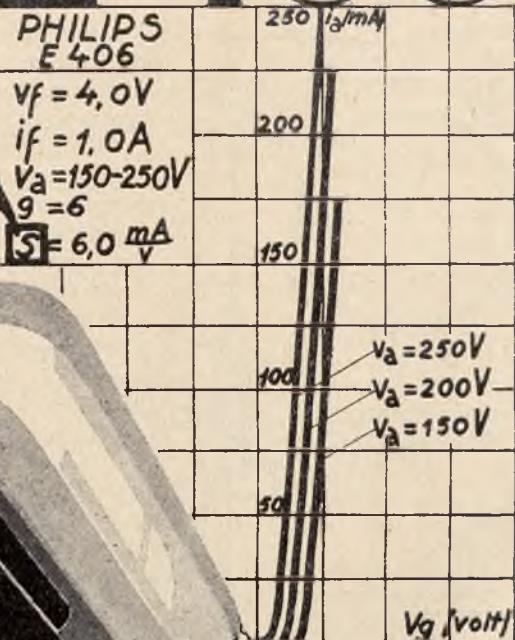


Rys. 10. Eliminator.

przy stosowanym przez nas mechanizmie głośnikowym, nie pozostawia nic do życzenia.

W bardzo wielu odbiornikach sieciowych po włączeniu ich do sieci, aż do chwili rozgrzania się katod, występuje gwizd w głośniku; trwa to zazwyczaj nie dłużej jak 10 sekund jednakże o ile objaw taki towarzy-

E 406



lampa
12 wattowa
o nachyleniu
6 mA/V.

Żądajcie katalogów we wszystkich sklepach radjotechnicznych lub pod adresem:

POLSKIE ZAKŁADY PHILIPSA S.A.

WARSZAWA KAROLKOWA 36/14

Przebieg załamywania się fal elektromagnetycznych w warstwie Heavisida

W zeszłym n-rze RAP zamieściliśmy artykuł zawierający résumé wiedzy naszej o strukturze atmosfery pod względem fizycznym i chemicznym, obecnie zaś autor opisuje mechanizm załamywania się, a raczej wyginięcia się promieni radiowych w górnych, zjonizowanych warstwach atmosfery, oraz wskazuje metody obliczania wysokości tych warstw.

Istnienie w pobliżu krótkofalowych stacji nadawczych t. zw. „martwych obszarów“ wskazuje, że energia wypromieniowana początkowo opuszcza powierzchnię ziemi i dopiero pod wpływem jakichś czynników zostaje zawrócona z powrotem z górnych warstw atmosfery. Dla wyjaśnienia powyższego faktu, jak również zjawiska uginania się fal*) zakładano, że fale el.—magn. zostają odbite od jakiejś wyraźnie zaznaczonej warstwy atmosfery odznaczającej

mywaniu i w ten sposób zostają zawrócone ku powierzchni ziemi.

Załamywanie fal el.—magn. jest uwarunkowane obecnością w atmosferze cząsteczek naładowanych a zwłaszcza obecnością wolnych elektronów, które pod wpływem elektrycznego pola fal zostają wprowadzone w ruch i wytwarzają podczas ruchu w przestrzeni, rzecz prosta, nowe fale, które dodają się do fal nadajnika.

Wyobraźmy sobie, że do przestrzeni zawierającej wolne elektrony dostaje się fala elektromagnetyczna: w każdym więc punkcie przestrzeni istnieje wówczas zmienne pole elektryczne. W wypadku gdy pole ma charakter sinusoidalny, w przestrzeni naszej pojawia się siła elektryczna $E = E_0 \sin(\omega t)$; **) elektron o naboju $-e$ i masie m , naskutek istnienia pola podlega sile $f = -eE = Ee \sin(\omega t)$

Pod wpływem tej siły elektron otrzymuje przyspieszenie, które, jak wiemy z kursu mechaniki, liczbowo wyraża się ilorazem z siły przez masę tak więc przyspieszenie

$$j = \frac{f}{m} = -\frac{e E_0}{m} \sin(\omega t) \quad (1)$$

stąd prędkość jego V (prędkość jest pochodną przyspieszenia $V = \frac{e E_0}{m \omega} \cos(\omega t)$) (2)

Ze wzoru powyższego widzimy, że prędkość nie jest stałą i zmienia się również sinusoidalnie,

Innymi słowy elektron będzie poruszał się ruchem drgającym w kierunku pola

**) ω jest to t. zw. częstotliwość kątową; liczbowo $\omega = 2\pi f$, gdzie f częstotliwość drgań.



Rys. 1.

się dużą zdolnością przewodzenia. Założenie powyższe, wysunięte w swoim czasie przez Heavisida, w chwili obecnej straciło już stanowisko pewnika i zostało zastąpione przez założenie Larmore'a według którego fale el.—magn. ulegają stopniowemu zała-

*) Początkowo przypuszczano, że radiokomunikacja jest możliwa jedynie pomiędzy stacjami, znajdującymi się w obrębie horyzontu, gdy jednak nawiązano łączność ze stacjami leżącymi nawet po drugiej stronie Antlantyku, zaczęli uczeni szukać wyjaśnienia dlaczego fale „uginają“ się; z tego też okresu pochodzi hipoteza Heavisida'a.

elektrycznego. Masa elektronu wynosi $0,9 \cdot 10^{-27}$ gr. nabój jego $4,5 \cdot 10^{-10}$ jednostek elektrostatycznych. Tak więc gdy znamy natężenie pola wytworzonego przez falę, możemy wyliczyć prędkość ruchu elektronu.

Ponieważ elektron przenosi z sobą ujemny nabój — e , więc ruch jego stanowi prąd, natężenie którego

$$i = -e V = e \frac{E_0}{m \omega} \cos(\omega t) \quad (3)$$

Opierając się na wywodzie powyższym niektórzy uczeni (np. prof. Bończ-Brujewicz) rozpatrują elektron jako antenę punktową; w antenie tej istnieje prąd i o częstotliwości ω wypromieniowujący fale elektromagnetyczne podobnie jak stacja nadawcza. Na tym właśnie fakcie polegać ma cały mechanizm zakłócenia rozprzestrzeniania się fal elektromagnetycznych, zakłócenia polegającego na stopniowym zakrzywianiu toru promienia elektrycznego.

Podobnie na fale el.—magn. oddziałują i naładowane dodatnio cząsteczki gazów; jednakże szybkość ruchu ich jest, dzięki dużej masie, tysiące razy mniejsza od szybkości elektronów a co za tem idzie i wpływ na rozchodzenie się fal jest proporcjonalnie mniejszy.

Z podanych powyżej wzorów widzimy, że fala, wytworzona w przestrzeni naskutek ruchu elektronu, opóźnia się w stosunku do fali która ją wywołała, o 90° . Wskutek tego, w każdym punkcie przestrzeni, zawierającej wolne elektrony, późniejsza faza fali występuje wcześniej niż miałyby to miejsce przy niobecności wolnych elektronów. Tak więc fala trafiając do strefy zjonizowanej otrzymuje większą prędkość fazy w tej części strefy, gdzie jonizacja jest większa dzięki temu załamuje się w tę stronę gdzie panuje mniejsza jonizacja.

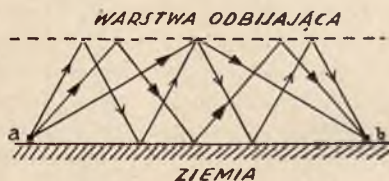
Z równania 3 widzimy, że natężenie prądu, tworzącego się przy ruchu elektronów jest tem większa im mniejsza jest częstotliwość t. j. innymi słowy im fala jest dłuższa.

Tak więc fale dłuższe załamują się wydatniej i dla zawrócenia ich na powierzchnię ziemi trzeba mniejszej ilości wolnych elektronów w 1 cm^3 przestrzeni. Fale krótkie natomiast (20—30 m) powracają na powierzchnię ziemi tylko wówczas, gdy jonizacja jest daleko posunięta t. zn. w lecie, we dnie.

Fale natomiast dłuższe (40—100 m) powracają w lecie i w nocy.

Jeśliby elektrony znajdowały się w próżni, wówczas załamywanie się fal el.—magn. nie pociągałoby za sobą strat. W rzeczywistości jednak elektrony mieszczą się w przestrzeni obok gazowych cząsteczek i biorą udział w cieplnych ruchach gazów; zderzając się z cząsteczkami, tracą one na rzecz cząsteczek część energii otrzymanej naskutek istnienia pola fali el.—magn. W ten sposób energia pola elektrycznego zatracana się i zostaje zużyta na ogrzewanie gazowego środowiska; a zatem zjawisku załamania fal towarzyszy zawsze zjawisko pochłaniania.

Fale dłuższe pochłaniane są energiczniej gdyż dzięki dłuższemu okresowi drgań oraz większej prędkości elektronów praw-



Rys. 2.

dopodobieństwo zderzeń elektronów z cząsteczką znacznie wzrasta. Cdy np. w przypadku fali dwudziesto metrowej elektron zdąży wykonać 100 drgań i dopiero zatracą energię 101 drgania, to przy fali $=100\text{mtr}$ podczas zderzenia elektron wykonywa prawdopodobnie zaledwie 20 drgań wolnych do chwili zderzenia. Tak więc strata energii w pierwszym przypadku wynosi 1%, w drugim zaś 5% energii otrzymanej od fali. Oprócz tego pochłanianiu fal dłuższych sprzyja i ta okoliczność, że załamują się one w warstwach niższych, t. zn. w warstwach, w których ciśnienie jest większe, a zderzenia częstsze — w tych bowiem warstwach fale te napotykać ilość elektronów dostateczną do załamania. Fale krótsze, wymagające większego „stężenia“ elektronów, załamują się w podobnych warunkach w warstwach wyższych, w których zderzenia są rzadsze. W tem leży też przyczyna niemożności radio-komunikacji na falach 40 — 100 metrów we dnie, kiedy jonizacja jest większa i kiedy fale zostają załamywane na względnie niewielkich wysokościach.

WYSOKOŚĆ WARSTWY ZAŁAMUJĄCEJ.

Do ostatnich niemal czasów utrzymywało się przypuszczenie, że w całej atmosferze, we dnie istnieje jedna tylko warstwa zjonizowana na wysokości 100 km., warstwa o gęstości elektronów 10^9 na cm^3 . Zgodnie z tem przypuszczeniem warstwa powyższa w ciągu nocy porusza się i podnosi do wysokości 400—700 km., przyczem ilość elektronów w 1 cm^3 spada do $2,5 \cdot 10^6$. W chwili obecnej jednak, po dokonaniu licznych eksperymentów, wyobrażamy sobie zjawiska powyższe inaczej; doświadczenia wykazały obecność 2 lub 3 warstw zjonizowanych, gęstości elektronów, w których osiągają maksimum; pomiędzy temi warstwami znajdują się warstwy mniej zjonizowane. Uczni wypracowali kilka metod dla eksperymentalnego oznaczenia wysokości warstwy załamującej; rozpatrzmy z nich dwie, dające najlepsze wyniki.

Metoda pierwsza polega na założeniu, że fale wyemitowane z punktu a (rys. 1.) trafiają do punktu b kilkoma drogami: bezpośrednio po powierzchni ziemi (fala przyziemna — droga 1) i po odbiciu od warstwy odbijającej atmosfery (droga 2). Promienie te, rzecz prosta, przebiegają drogi różne, co do długości, a zatem przychodzą do punktu b naogół w różnych fazach. W wypadku, gdy różnica długości dróg stanowi całkowitą liczbę fal, t. zn. parzystą liczbę pół, promienie dojdą „w fazie“ i wzmożną się; przeciwnie, gdy różnica stanowi nieparzystą liczbę półfal, promienie będą w fazach przeciwnych i osłabiają się, względnie wogóle się zniósą. Zmieniając więc długość fali sposobem ciągłym w punkcie a otrzymamy w punkcie b cały szereg maksymów i minimów. Mierząc długości fal przy których następują one maksyma i minima możemy określić różnicę długości dróg 1 i 2, a co zatem idzie, i wyliczyć wysokość warstwy w której nastąpiło załamanie. Ta metoda, wymagająca aby załamanie miało charakter szybkiego zagięcia promienia, analogicznego odbiciu, nadaje się dzięki temu prawie wyłącznie dla fal dłuższych (ponad 100 mtr).

Metoda druga polega na mierzeniu odstępów, czasu pomiędzy nadejściem sygnału

z fali przyziemnej i nadejściem sygnału „odbitego“ od warstwy zjonizowanej. W tym celu stacja nadawcza nadaje bardzo krótkie sygnały trwające np. 0,0002 sek. Odbiornik w punkcie b rejestruje sygnały na oscylografie względnie na aparacie do odbioru obrazów.

Sposób ten pozwala określić czas opóźnienia się fali przestrzennej, określić różnicę dróg promienia przyziemnego i przestrzennego i wyliczyć stąd wysokość warstwy załamującej. Przy stosowaniu metody opisanej oscylograf notuje odbiór nie tylko pierwszego promienia jeden raz odbitego od warstwy załamującej ale i odbiór innych promieni odbitych dwa, trzy razy od tej warstwy jak to pokazuje rys. 3.

Stosując tę metodę Kannerick wyliczył wysokość odbicia w czasie nocy 350 km; Uearested podał natomiast wysokość warstwy odbijającej 220 km. w dniu i 425 km. w nocy.

Posugując się pierwszą z opisanych metod Appeltone ustalił, że fala długości 100 mtr. odbija się we dnie z wysokości 100 km. w nocy zaś z wysokości 226 km. Zauważył on przy tem, że przy przejściu od warunków dziennych do warunków nocnych odbioru, zachodzi bardzo ciekawy fakt: (raptowne przejście od 100 do 226 km. Efekt ten zachodził kilkakrotnie podczas zachodu słońca. Appeltone tłumaczy to w sposób następujący: na wysokości 100 km. znajduje się warstwa z maksymalną gęstością elektronów ok. 10^6 stanowiącą wartość graniczną gwarantującą zawrócenie fali stumetrowej na powierzchnię ziemi. Warstwa następną o gęstości elektronów dostatecznej (ponad 10^5) znajduje się na wysokości 226 km.

Z chwilą gdy dzięki zmianie warunków radiacji słonecznej gęstość elektronów w warstwie pierwszej zmalała (poniżej 10^5) fala nie zostawała już odbita ale przecinała tę warstwę i odbijała się dopiero od warstwy drugiej.

Zmiany raptowne i wielokrotne tłumaczyć należy nietrwałym składem warstwy dolnej w czasie wschodu lub zachodu słońca, kiedy w warstwie tej zachodzą znaczne wahania elektronów.

Oscylograf amatorski

Oscylograf — to oko elektryczne, które pozwala nam widzieć drgania głośnika, rezonatorów i prądów w obwodach, powiększone i jakby zatrzymane w formie krzywych nieruchomych a dalej pozwala te krzywe mierzyć oraz rozkładać na części składowe i t. p. Wszystko to, dzięki pomysłowi autora możemy otrzymać w domu przy pomocy własnoręcznie sporządzonego aparatu kosztem ok. 100 zł.

Tytuł powyższy wydać się może nieco paradoksalnym; oscylograf jak dotychczas zajmuje miejsce tylko w dobrze wyposażonych laboratoriach, i uchodzi za przyrząd niezmiernie skomplikowany i kosztowny. Z drugiej strony wątpliwą jest możliwość zastosowania oscylografu w praktyce amatorskiej. Że obydwa powyższe zarzuty są bezpodstawne przekona czytelnika poniższy artykuł.

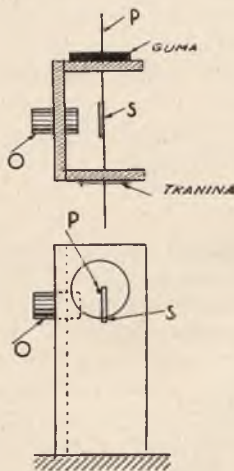
Przedewszystkiem musimy wyjaśnić na wstępie, że jeżeli chodzi o oscylograf dla prądów wielkiej częstotliwości, jedyny istniejący system (elektronowy) nie jest narazie dostępny dla amatora.

Pozostaje technika częstotliwości akustycznych, która nawiasem mówiąc ma największe dla nas znaczenie. Cprawda analiza zjawisk zachodzących w w. cz. ma dużą wartość dydaktyczną, jednak praktycznie interesuje nas więcej m. cz., od której zależy głównie (choć nie wyłącznie) jakość i siła odbioru.

Zagadnienia, które z oscylografem naszym chcielibyśmy rozwiązać będą następujące:

1). Pomiar częstotliwości danego dźwięku.

2). Analiza dźwięku, a więc rozłożenie go na częstotliwości składowe.



Rys. 2. Sposób umocowania pręta, szkiełka i obiektywu w dwóch widokach: z góry i z boku.

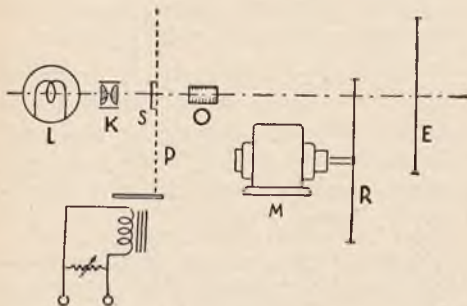
3). Wyszukiwanie nieprawidłowości w odtwarzaniu dźwięków.

Zaznaczamy, że oscylograf w naszym wykonaniu nie będzie się nadawał do ścisłego pomiaru amplitudy. Moglibyśmy go wyskalować wprawdzie przez porównanie z innym oscylografem, ale korzyść z powyższego byłaby nader wątpliwa.

Natomiast zaletą w porównaniu z istniejącymi typami oscylografów są jego właściwości następujące.

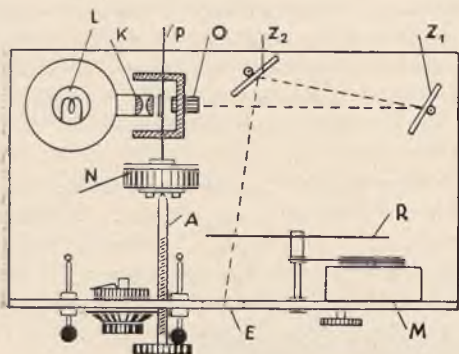
1) Oscylacji nie trzeba rejestrować: bada się je na ekranie, a w razie potrzeby fotografuje.

2) Zakres częstotliwości jest b. duży, łąco obejmuje praktycznie wszystkie częstotliwości słyszalne.



Rys. 1. Schemat zasadniczy oscylografu; L — żarówka, K — kondens. opt. P — pręt, S — szkiełko, O — obiektyw, M — motor, R — krążek wirujący, E — ekran.

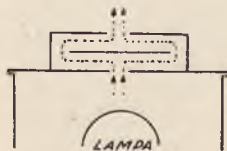
3) Możliwe jest *bezpośrednie* badanie głośników, a nawet przybliżone wykreślanie krzywych wrażliwości głośnika na różne częstotliwości.



Rys. 3. Rozkład części oscylografu w skrzynce. N — mechanizm głośnikowy, A — śruba regulacyjna, Z₁ i Z₂ — zwierciadła.

4) Wreszcie koszt budowy oscylogryfu jest stosunkowo niewielki. *)

Sądzymy, że cechy wymienione wystarczą, żeby poważnie pracujących amatorów



Rys. 4. Wentylacja puszki z żarówką.

skłonić do rozpoczęcia eksperymentów z opisywanym przez nas przyrządem.

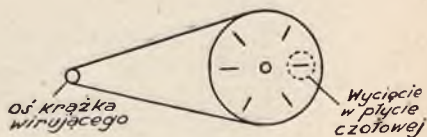
Zasada działania oscylografu jest następująca. (p. rys.1). Na drgającym podłużnie pręciku stalowym P osadzony jest mały ekranik S, który jest nieprzezroczysty, posiada jednak cienką przezroczystą szparę przeprowadzoną prostopadle do pręta drgającego.

*) Kosztorys całości przedstawiłby się tak: motor sprężynowy 10 zł., oporniki, wtyczki, ebonit, drobiazgi różne z 40 zł. Całość nie powinna przenosić 90 zł., a przy wykorzystaniu części, które można znaleźć w każdym domu spadnie o wiele poniżej tej sumy.

Ekranik ten oświetla silna lampa L przez kondensator*) K. Obraz szpary na ekraniku rzutuje obiektyw O. na względnie duży ekran E. Oczywiście że obraz ten będzie drgał tem silniej, im silniej drga pręcik i w rezultacie da zamiast wąskiej, jasnej linii — szeroką wstęgę świetlną. Pomiedzy ekranem E i obiektywem wiruje szybko nieprzezroczysty krążek R z wycięciami wzdłuż promienia. Obraz szpary i wycięcia w krążku dają w rezultacie punkt świetlny na ekranie. Punkt ten będzie się poruszał po linii prostej gdy pręcik P jest w spoczynku, lecz zacznie kreślić krzywą, gdy pręcik ulega przesunięciu. Przy drganiach akustycznych punkt będzie się poruszał wzdłuż sinusoidy, lub mniej regularnej krzywej. Aby otrzymać na ekranie obraz stojący, wystarczy nadać krążkowi R szybkość kątową mającą się w stosunku prostym do częstotliwości drgań badanych.

Omówimy teraz bliżej części składowe oscylografu, które poznaliśmy w powyższym opisie.

Lampa L musi być dość silna (np. 100 W) i o jaknajmniejszej powierzchni świecącej. Można też użyć zwykłą t. zw. półwatówkę



Rys. 5. Licznik obrotów.

(nie mleczną!) lub lepiej jeszcze lampę do projekcji. Kondensator K może stanowić kilka soczewek o średnicy kilkunastu lub więcej milimetrów, zestawonych razem tak aby ich wspólna ogniskowa nie przenosiła 20 m/m. Obiektyw O musi mieć jaknajkrót-

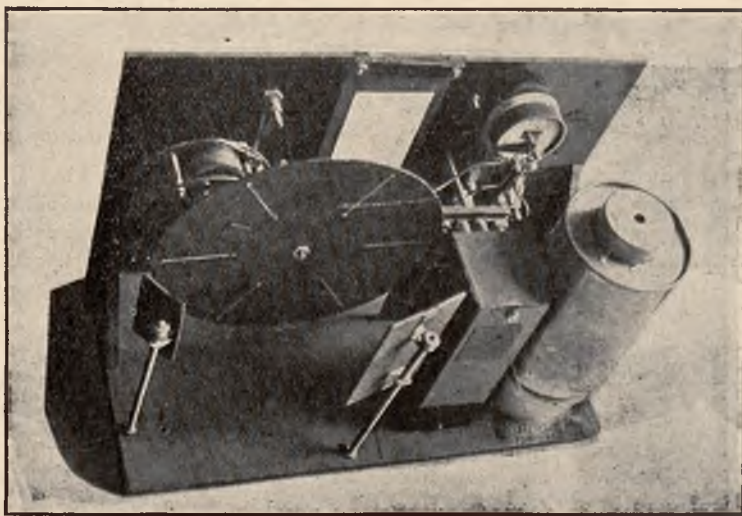
*) Kondensator świetlny ma za zadanie skupianie światła lampy na ekraniku S. Mogą go stanowić dwie (lub więcej) soczewki wypukłe osadzone w rurce metalowej. Soczewki te nabyć można okazjnie w składach optycznych. Można też nabyć kondensator gotowy (średnica czynna 10 mm, ogniskowa 10 mm) w firmach z amatorskimi aparatami kinematograficznymi.

szą ogniskową, a jaknajwiększą siłą światła. (Ogniskowa od 10 do 39 mm). Można użyć w tym celu obiektyw mikroskopowy (Nr. 3, 4 lub 5) albo też obiektyw projekcyjny dla wąskich filmów (np. Pathe-Baby — 26 mm).

Pręcik P może być wykonany z kawałka drutu stalowego długości 10 cm i średnicy 0,3 do 0,5 mm. Na pręciku przyklejamy jednym brzegiem najmniejsze, jakie znajdziemy w handlu szkieleto mikroskopowe*) ($16 \times 16 \times 0,2$ mm). Szkieleto to pokrywamy z jednej strony tuszem i po wyschnięciu robimy na niem nożykiem do golenia rysę przez całą długość, mniej więcej na środku i prostopadle do pręcika stalowego. Pręcik należy zawiesić dosyć luźno na dwóch kawałkach cienkiej tkaniny jedwabnej naklejonej na

Krażek R można wykonać z blachy aluminowej, lub nawet z preszpanu. Średnica krążka około 20 cm, wystarczy, nie gra ona żadnej roli. Obojętną jest również ilość wycięć w krążku. Możemy ich zrobić 5 lub 6. Natomiast same wycięcia powinny być jaknajwęższe ale o zupełnie równej szerokości; a odstępy pomiędzy wycięciami muszą być identyczne; błąd w rozstawieniu wycięć o 1 mm wywoła zupełną nieostrość otrzymanego obrazu.

Najwygodniej jest poruszać krążek motorkiem na prąd stały 4 V. zasilanym wprost z akumulatora. Szybkość obrotów motorka musi dać się zmieniać w dużych granicach. Najwyższa szybkość do najmniejszej, przy której jednak motorek idzie je-



Rys. 6. Widok wnętrza opisywanego oscylografu w wykonaniu autora.

dwóch płytkach ebonitowych o odpowiednich wycięciach (p. rys. 2). Obydwie płytki sklejemy z trzecią w której osadzimy obiektyw. Wykonanie całości tłumaczy wystarczająco rys. 2. Dokładne podanie wymiarów jest niemożliwe, ponieważ zależą one od rodzaju użytej lampy, ogniskowej kondensatora i obiektywu.

Ekran E najlepiej zrobić z papieru przezluszczzonego i oglądać krzywą z drugiej strony.

**) Szkiełka mikroskopowe pokrywkowe nabywa się niestety, na setki.

szcze równo, powinna być w stosunku jak 10 : 1. W tym wypadku można osadzić krążek wprost na osi motorka. Krążek średnicy 20 cm powinien wirować z szybkością od 5 do 50 obr. na sekundę. Jeżeli motorek nie daje tej szybkości należy wykonać przekładnię zmniejszającą lub zwiększającą. Najlepszą będzie przekładnia trybowa, lecz w braku jej można dać transmisję gumową i później eksperymentalnie obliczyć stosunek przekładni.

Zamiast motorka możemy użyć napęd sprężynowy np. mechanizm gramofonowy.

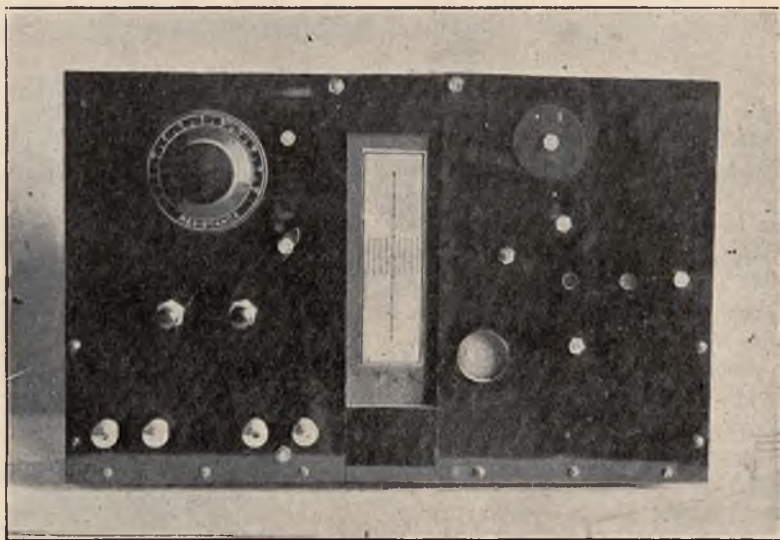
w każdym razie z regulowaną szybkością.

Pozostaje do omówienia układ, który będzie wprawiał w drgania pręcik stalowy. Układ ten może stanowić dowolna słuchawka, w której membranę zastąpimy dla lepszego tłumienia krążkiem żelaznym osadzonym na pasku ebonitowym. Pożądana jest możliwość silniejszego lub słabszego styku pomiędzy krążkiem żelaznym i pręcikiem. Jeżeli pręcik wykazuje tendencję do drgania właną zęsatłwością, można a nawet należy słuścić te drgania bądź łącząc sztywno pręcik z częścią drgającą, bądź też nasa-

musi być ta odległość, a zatem i wymiary całego oscylografu.

Jest rzeczą zrozumiałą że nie będziemy podawali tu dokładnych wskazówek co do realizacji. W zależności od elementów użytych realizacja może dość daleko odbiegać od opracowanej przez nas. Mamy nadzieję, że amatorzy, którzy będą umieli korzystać z oscylografu, bez trudu przezwyciężą wszystko techniczne trudności montażu. Ograniczamy się więc do wskazówek ogólnych.

Lampę L należy zamknąć jak najdokładniej w metalowej osłonie cylindrycznej do



Rys. 7. Widok zewnętrzny tegoż oscylografu.

dając na pręcik krążek wycięty z gumy i przyklejony do płytki ebonitowej (rys. 2).

Wszystkie opisane przyrządy możemy zestawić w linii prostej, jak na rys. 1. Otrzymamy jednak aparat nieco zbyt długi i niewygodny do regulacji. Proponujemy natomiast montaż, jak na rys. 3. Promień światła wychodzący z obiektywu odbija się od dwóch lusterek Z_1 i Z_2 i pada na ekran E. W ten sposób zmniejszamy wymiary całego oscylografu do: $15 \times 20 \times 35$ cm. Zaznaczamy jednak, że obraz szpary na ekranie musi być przynajmniej 40 razy powiększony, a więc jeżeli rozporządzamy obiektywem o ogniskowej 10 mm — odległość ekranu od obiektywu wynosi 40 cm. Gdy natomiast ogniskowa jest większa — większa

której przylutowujemy rurkę z osadzonym w niej kondensatorem. Rurka ta może się oczywiście znajdować na wysokości włókna lampy. Puszka wraz z lampką może się rozgrzać bardzo silnie. Dobrze jest zachować małe otworki zakryte z zewnątrz dla wentylacji (p. rys. 4). Kondensator powinien oświetlać! część środkową szkiełka na przestrzeni kilkunastu mm.

Obiektyw osadzić trzeba na tyle luźno żeby umożliwić sobie nastawianie na ostrość. Lusterko Z_1 , 10 na 30 mm, Z_2 — 25×30 mm. Obydwa obsadzamy na pionowych prętach, co pozwoli nam na obracanie i dokładne nastawienie obrazu na środek ekranu. Wreszcie krążek R musi zakrywać ekran t. zn. z żadnego punktu ekranu nie

powinno być widać usterka Z_2 . Sam ekran może mieć wymiary 3×10 cm.

Z prawej strony płyty czołowej przykręcamy mechanizm obracający krążek i przyrząd regulujący szybkość, a więc w wypadku rotorka — opornik. Poza tem musimy połączyć z krążkiem wirującym przekładnią silnie zmniejszającą drugi krążek którego obroty mogli byśmy liczyć. Wystarczy w tym celu osadzić na kawałku prętu gwintowanego kółko drewniane o średnicy kilku cm. i połączyć je gumką z osią krążka z wycięciami. Na kółku tem nalepiamy papier i w równych odstępach na obwodzie robimy tuszem kreski. W odpowiednim miejscu płyty czołowej wiercimy otwór 10 mm. przez który to otwór będziemy liczyli przesuwające się kreski (rys. 5).

Wreszcie z lewej strony płyty przykręcamy wyłączniki dla lampy i dla systemu elektromagnesów, oraz opornik (ca 100000 omów) spinający uzwojenia elektromagnesów, którym będziemy mogli regulować siłę drgań pręcika stalowego.

Sam układ elektromagnesów montujemy na płycie ebonitowej umieszczonej pionowo. Płytką tą powinna być na tyle giętka, żeby można było śrubą A (rys. 3) regulować siłę nacisku na pręcik P. Całość po zmontowaniu widzimy na rys. 6 a płytę czołową na rys. 7.

Musimy teraz obliczyć przekładnię pomiędzy krążkiem wirującym R i krążkiem służącym do kontroli. Przypuśćmy, że znaleźliśmy liczbę K.

Następnie musimy znać powiększenie jakie daje nasz obiektyw. W tym celu dzielimy odległość ekranu od obiektywu przez ogniskową obiektywu. Znając powiększenie wiemy, że przesunięciu 0,1 mm. pręcika odpowiada przesunięcie punktu świetlnego na ekranie = $N \times 0,1$ a więc przy $N = 40$ — 4 mm. Może nam to posłużyć za podstawę do wyskalowania ekranu.

Pierwsze doświadczenia jakie będziemy robili z oscylografem mają na celu „zobaczenie” drgań.

Zapalamy lampę. Na ekranie powinien ukazać się jasny punkt o wymiarach około 1×1 mm. Naprowadzamy punkt ten na środek usterkiem Z_2 . Puszczamy w ruch krążek i na miejscu punktu zobaczymy jasną linię pionową. Jeżeli lampa nie jest dostatecznie silna, trzeba to doświadczenie

robić w ciemnym pokoju. Teraz zatrzymujemy krążek a włączamy oscylator na miejsce głośnika czy słuchawek dowolnego odbiornika lampowego. Jeżeli pręcik dotyka kotwicy, to przy silniejszych dźwiękach zauważymy jakby wydłużenie się poziome świetlnego punktu na ekranie. Jeżeli jednak co jest równie możliwe, nie zauważymy nic — najlepiej wywołać słyszalne drgania własne odbiornika (po wyłączeniu anteny) i następnie regulować siłę nacisku na pręcik, aż do wyraźnej deformacji punktu jasnego na ekranie. N. b. w ciągu tych prób musimy ciągle korygować lusterkiem położenie punktu. Puszczamy teraz krążek w ruch, zwiększając stopniowo szybkość. Z



Rys. 8. Zdjęcie fotograficzne oscylogramu na ekranie.

początku linja falista przebiegająca ekran nie da się zatrzymać uciekając szybko to do góry, to na dół; w końcu jednak znajdziemy szybkość przy której otrzymamy obraz stojący. Jeżeli teraz choć trochę zmienimy częstotliwość drgań obraz zacznie się szybko przesuwać.

Obliczanie częstotliwości jest dość łatwe. Przedewszystkiem odmierzamy na ekranie i zaznaczamy dwiema kreskami odległość dwóch punktów świetlnych, które dają dwa kolejne wycięcia w krążku. Budując obraz stojący liczymy ile drgań mieści się na tej przestrzeni. (Może się zmieścić tylko całkowita ilość drgań). Następnie mierzymy dobrym sekundnikiem ilość obrotów na sekundę

krążka kontrolującego. Jeżeli ilość okresów znaleziona na ekranie jest N , szybkość krążka kontrolującego — V na sekundę, a przekładnia obliczona poprzednio K — częstotliwość szukana:

$F = N \cdot K \cdot V$ okresów na sekundę. Żeby otrzymać dokładniejszy rezultat powtarzamy pomiar przy szybkości np. dwa razy mniejszej; wówczas na ekranie zmieści się dwa razy więcej okresów.

Chcąc zbadać, częstotliwości składowe danego dźwięku, zaczynamy od szybkości najmniejszej i zwiększamy ją stopniowo notując zjawiające się częstotliwości; nie należy ich utożsamiać jednak z tą samą częstotliwością oglądaną przy różnych szybkościach: obliczenie przekona nas zresztą o błędzie.

Chcąc np. zbadać jakiś głośnik wyłączamy układ drgający oscylatora, a do wystającego na zewnątrz drugiego końca pręcika stalowego dotykamy membranę, czy też dowolną część badaną głośnika i głośnik ten włączamy do dowolnego, dostatecznie silnego wzmacniacza. Postępując jak poprzednio będziemy mogli wykryć częstotliwości na które głośnik silniej reaguje i w ten sposób, zresztą bardzo przybliżony, otrzymamy krzywą wrażliwości głośnika, która ewentualnie łączyć może do skorygowania go, bądź przez wymianę poszczególnych części bądź też przez zmianę naprężenia membrany. i t. p.

Inż. St. Zieliński,

Wzmocnienie rzeczywiste

W kwietniowym zeszycie RAP, zamieściliśmy artykuł p. t. „Spółczynnik amplifikacji a wzmocnienie rzeczywiste“, w którym autor omówił zależność wzmocnienia rzeczywistego układów wzmacniających od współczynnika amplifikacji lampy, oporu wewnętrznego lampy i warunków jej pracy. Obecnie rozszerza tę zależność o czynnik pojemności lampy i mostek detektorowy lampy następczej.

W artykule p. t. „Spółczynnik amplifikacji a wzmocnienie rzeczywiste“, zamieszczonym w zeszycie kwietniowym „Radioamatora Polskiego“ omówiłem zasadnicze czynniki decydujące o wzmocnieniu roboczym, pomijając zjawiska mniej istotne i w nieznaczej tylko mierze wpływające na wielkość wspomnianego wzmocnienia. Ze względu jednak na zapytania co do roli, jaką odgrywają pojemności lamp oraz kondensatora sprzęgającego obwód anodowy lampy w. cz. z obwodem siatkowym lampy detektorowej, jak również co do roli oporu upływowego tej ostatniej lampy, postaram się rzucić nieco światła na te kwestje w uwagach poniższych, które traktuję jako uzupełnienie poprzedniego artykułu. Rozważmy lampę wielkiej częstotliwości w układzie rezonansowym (Rys. 2). Jeżeli strojony obwód anodowy jest wykonany z materiałów pierwszorzędnej jakości, wówczas, jak już wie-

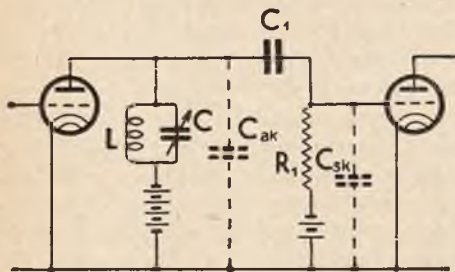
my, opór zastępczy tego obwodu dla częstotliwości rezonansu wynosi około 100.000 omów, Lampa w. cz., np. E435 ($g = 35$, $R_i = 35.000$) pozwala w tych warunkach osiągnąć wzmocnienie:

$$\frac{g}{1 + \frac{R_i}{R_a}} = \frac{35}{1 + \frac{35000}{100000}} = 26$$

Przy obliczaniu wzmocnienia zostały, jak wynika ze wzoru, uwzględnione trzy czynniki: współczynnik amplifikacji g , opór wewnętrzny R_i i opór zastępczy obwodu anodowego R_a . W rzeczywistości jednak wchodzi w grę i inne wielkości, a mianowicie:

- 1) pojemność anoda — katoda lampy w. cz. (C_{ak}),
- 2) kondensator C₁,
- 3) opór upływowy R₁,
- 4) pojemność siatka — katoda lampy detektorowej (C_{sk}).

Schemat wskazany na rys. 1-ym może być zastąpiony pod kątem widzenia prądów



Rys. 1. Przykład odbiornika rezonansowego.

zmiennych przez równoważny mu układ, uwidoczony na rys. 2-im.

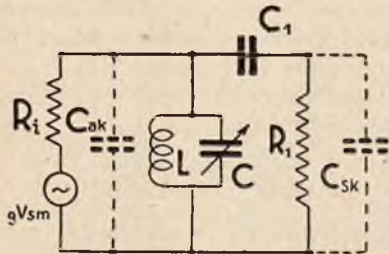
Pojemność kondensatora C_1 wynosi zazwyczaj około 300 cm. a wartość oporu R_1 — około 1 megoma.

Oporność pozorną kondensatora C_1 dla częstotliwości 1.000 kilocyklów, odpowiadającej fali 300 m, równa się.

$$\frac{1}{2\pi f C_1} = \frac{1}{2\pi \cdot 10^6 \cdot 3,3 \cdot 10^{-10}} = 480 \text{ omów}$$

Opór ten jest szeregowo połączony z oporem R_1 (rys. 2). Ze względu na to, że stanowi on $\frac{1}{2000}$ oporu R_1 , można go śmiało pominąć.

Okoliczność ta pozwala uprościć układ zastępczy, który teraz przybiera postać wskazaną na rys. 3-im, przy czym pojemność C_s symbolizuje wszystkie szkodli-



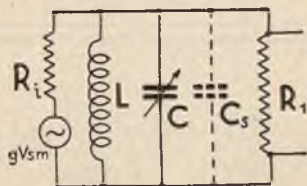
Rys. 2. Schemat równoważny ze schematem na rys. 1.

we pojemności, które przez wzgląd na usunięcie kondensatora C_1 są ze sobą połączone równolegle.

Z rysunku 3-go wynika, że cewka L , kondensator C , kondensator C_s i opór R_1 są ze sobą połączone równolegle. Fakt ten należy uwzględnić przy dostrajaniu obwodu rezonansowego LC do fali nośnej. Ponieważ

pojemności C i C_s są połączone równolegle, przeto dodają się one arytmetycznie, wobec czego dla uzyskania rezonansu potrzebna jest tem mniejsza pojemność C , im większą wartość posiada pojemność szkodliwa C_s . Z powyższego wynika, że w układach rezonansowych w. cz. pojemność anoda - katoda lampy w. cz. i pojemność siatka - katoda lampy detektorowej nie wywierają bezpośredniego wpływu na wzmacnienie.

Inaczej rzecz się ma w układach o sprzężeniu oporowem. W układach tych pojemność szkodliwą bocznikuje opór sprzęgający stwarzając w ten sposób odgańlenie, przez które płynie tem większy prąd, im większa jest częstotliwość, gdyż oporność pozorna kondensatora maleje wraz ze wzrostem częstotliwości. Oczywiście w tych wa-



Rys. 3. Dalsze uproszczenie interpretacji ze schematu na rys. 1.

runkach wzmacnienie rzeczywiste ulegnie zmniejszeniu.

Pozostaje do omówienia wpływ oporu upływowego R_1 . Opór ten jest równolegle połączony z oporem zastępczym R_a ; wobec tego opór wypadkowy R_w można obliczyć w sposób następujący:

$$\frac{1}{R_w} = \frac{1}{R} + \frac{1}{R_1}$$

Obecnie wzmacnienie równa się:

$$R_a = 100,000 \text{ omów}$$

$$R_1 = 1,000,000 \text{ omów}$$

Wzmacnienie obliczone poprzednio (dla $R_a = 100.000$ omów) wynosiło 26.

Z powyższego wynika, że wpływ oporu upływowego na wzmacnienie robocze jest znikomy.

Reasumując uwagi powyższe, można stwierdzić, że wpływ czynników rozpatrywanych w niniejszym artykule na wielkość wzmacnienia nie ma istotnego znaczenia, wobec czego z punktu widzenia praktycznego poprzednim jest najzupełniej wystarczająca.

Gazowane lampy prostownicze na wysokie napięcie

Firma Philips wypuściła na rynek nowe lampy prostownicze na wysokie napięcie znamienne, że są wypełnione gazem szlachetnym i dzięki temu posiadają bardzo mały opór wewnętrzny a więc bardzo małe straty. Przy stosowaniu kilku lamp wymagają zachowania specjalnych warunków łączenia.

Lampy prostownicze gazowane były do niedawna fabrykowane wyłącznie do prostowania stosunkowo niskich napięć. Obecnie laboratorja Philipsa opracowały szereg typów lamp gazowanych na napięcia powyżej 1000 volt. Są to typy 1762, 1763 i 1765. Inne typy większe są w opracowaniu. Dane techniczne tych lamp są następujące:

	1762	1763	1765
Napięcie żarzenia:	2,5 V	5,0 V	5,0 V
Prąd żarzenia:	5,0 A	10,0 A	2,0 A
Największe skuteczne napięcie anod.:	500	500	500
	3500 V	3500 V	3500 V
Nap. prądu wypr.:	1500 do 4000 V	500 do 4000 V	500 do 4000 V
Natęż. „ „ „ :	100 mA	500 mA	1500 mA
Strata nap. w lampie:	+16 V	+16 V	+16 V
Moc uzyskiwania przy nap. 4000 V	400 W	2000 W	6000 W

Lampy prostownicze, gazowane z katodą

tlenkową, różnią się pod wielu względami od używanych zwykle dla tak wysokich napięć, lamp próżniowych. W porównaniu do lamp próżniowych, lampy gazowane wykazują wielkie zalety, które sprawiają, że w przyszłości prawie we wszystkich wypadkach lampy próżniowe wyparte zostaną przez lampy gazowane.

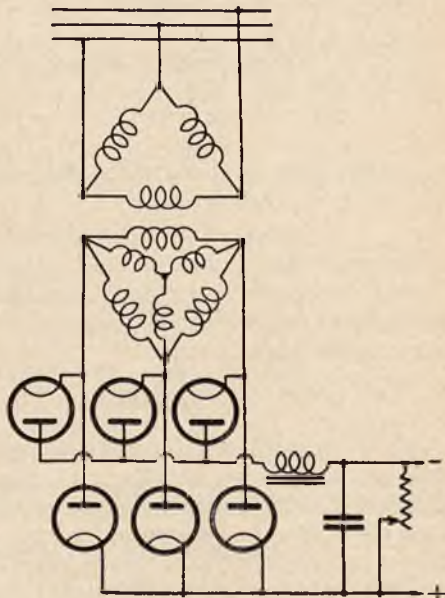
Również i w nadajnikach, pracujących przy napięciach około 4000 volt, stosowane obecnie maszyny prądu stałego zastąpione zostaną najprawdopodobniej wyłącznie gazowanymi lampami tego nowego typu (większa sprawność, zbyteczny nadzór, bezszumna praca, tańsza rezerwa).

SPRAWNOŚĆ.

Opór wewnętrzny lamp próżniowych konstrukcji starszej, wynosił 1000—2000 omów. We współczesnych lampach, jak na-

przykład w typach DA 6/1500, DA 10/2000, DA 10/5000, opór ten wynosi jeszcze kilkadziesiąt omów. Opór wewnętrzny lampy powoduje, jak wiadomo, straty energii w czasie przepływu prądu i energia ta wydzielana jest w anodzie w postaci ciepła. Strata energii wewnątrz lampy jest zwykle tak znaczna, że uzyskanie sprawności 80%-ej, należy uważać za zadowalające.

Dla lamp gazowanych strata napięcia, występująca w lampie, jest bardzo mała (około 16 volt) i w dość znacznym stopniu niezależna od natężenia, przepływającego przez lampę prądu. Wynika stąd, że sprawność lamp gazowanych jest nadzwyczaj wielka i dochodzić może przy pełnym obciążeniu nawet do 99%.



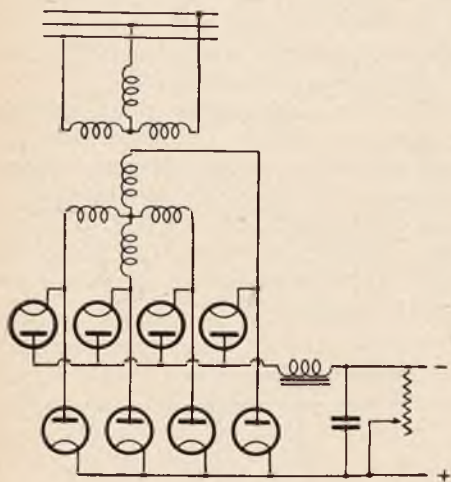
Rys. 1. Sześciolampowy prostownik na sieci trójfazowej.

WYMIARY ZEWNĘTRZNE.

Ze względu na znacznie mniejsze straty, również i wymiary lamp gazowanych uległy w porównaniu do lamp próżniowych znacznemu zredukowaniu.

PRĄD ŻARZENIA.

Lampy próżniowe posiadają zwykle katodę wolframową o znacznym zużyciu prądu żarzenia. Również i typy lamp próżniowych z katodą torowaną, wyrabiane dla napięć, dochodzących do około 4000 wolt, posiadają zużycie prądu żarzenia znacznie większe niż lampy gazowane, wyposażone w katodę tlenkową.



Rys. 2. Prostownik 8-lampowy dla sieci trójfazowej.

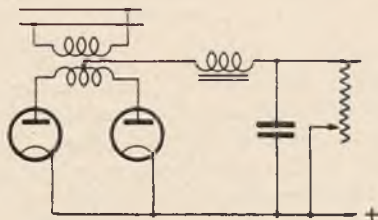
Przewaga lamp gazowanych nad lampami próżniowymi występuje więc jeszcze dobitniej, gdy przy porównaniu weźmiemy pod uwagę zużycie prądu żarzenia.

ŁĄCZENIE RÓWNOLEGŁE.

Układy połączeń dla lamp gazowanych różnią się niekiedy od układów z lampami próżniowymi. Lamp gazowanych nie można łączyć równoległe ze względu na to, że opór wewnętrzny tych lamp zmniejsza się wraz ze wzrostem przepływającego przez lampę prądu. (Napięcie łuku jest w lampach tych wielkością prawie stałą.) Lampy ga-

zowane posiadają t. zw. ujemną charakterystykę oporu. Przy łączeniu równoległym 2-ch lub większej ilości lamp, jedna z nich wzięłaby na skutek tego całe obciążenie na siebie, a reszta lamp nie pracowałaby wcale.

W układach zwykłych, równoległe łączenie lamp gazowanych jest więc niedopuszczalne.



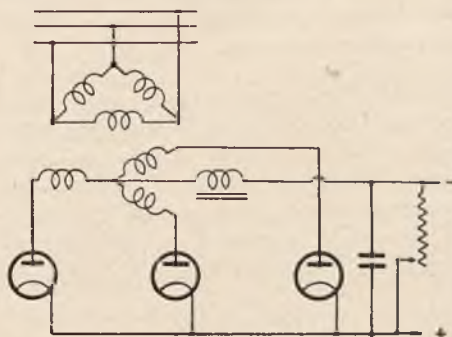
Rys. 3. Prostownik dwulampowy dla sieci jednofazowej.

Moc lamp próżniowych jest naogół ograniczona przez najwyższą dopuszczalną moc straconą w anodzie (moc admisyjna). Napięcie anodowe takich lamp może być stosunkowo wysokie, jeżeli tylko prąd jest dostatecznie mały.

W lampach gazowanych straty mocy w praktyce, nigdy nie dochodzą do dopuszczalnych wartości, ze względu na trwałość lampy.

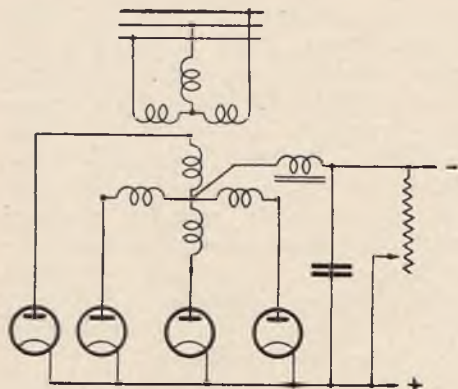
UKŁADY POŁĄCZEŃ.

Moc lampy ograniczona jest więc jedynie wielkością największego dopuszczalnego prądu, jakim może być obciążona katoda



Rys. 4. Prostownik trzylampowy dla sieci trójfazowej.

oraz najwyższym dopuszczalnym napięciem, jakie występuje pomiędzy anodą i katodą w czasie, gdy anoda posiada potencjał ujemny. Napięcie to jest naogół znacznie niższe niż dla lamp próżniowych. I tak naprzykład, aby uzyskać napięcie o wysokości 8—10.000 wolt, należy stosować układy specjalne, które umożliwiają otrzymanie napięcia dwa ra-



Rys. 5. Prostownik 4-lampowy dla sieci trójfazowej.

zy większego, niż przy stosowaniu jednej lampy bez potrzeby przekroczenia dopuszczalnej różnicy napięcia pomiędzy anodą i katodą w okresach, gdy anoda jest ujemna.

W układach tych, tak zwanych układach Graetz'a (Grupa I) najwyższe napięcie, wystarczające w czasie odwrócenia biegunów lampy, równa się prawie napięciu stałemu, na zaciskach pierwszego kondensatora. W znanych układach dawniejszego typu (Grupa II), w których napięcie stałe uzyskuje się pomiędzy katodą lampy i środkowym punktem wtórnego uzwojenia transformatora, największe ujemne napięcie na zaciskach wynosi w przybliżeniu podwójną wartość napięcia stałego, występującego na zaciskach pierwszego kondensatora. Celem zapewnienia prawidłowych warunków pracy, koniecznym jest, aby pierwsza część filtra wyplaszczającego, składała się z dławika, a nie z kondensatora.

GRUPA I.

Najwyższe napięcie prądu stałego, jakie otrzymać można przy układach tej grupy, w wypadku gdy lampa nie jest obciążona, jest 2,8 razy większe od najwyższego skutecznego napięcia podanego dla każdego typu lampy (dla typu 1762 napięcie to równa się 3500 wolt, tak, że najwyższe napięcie prądu stałego, jakie można uzyskać, wynoszą 10.000 wolt;) —

W załączonych schematach najwyższy uzyskany prąd stały wynosi dla układu pg.:

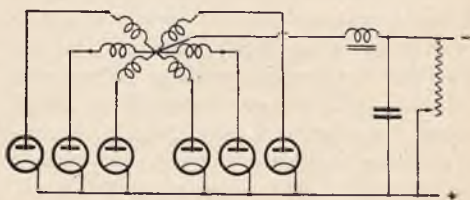
rys. 1 — trzykrotną wartość największego prądu dla 1 lampy

rys. 2 — czterokrotną wartość największego prądu dla 1 lampy

GRUPA II.

Dla układów tej grupy napięcie prądu stałego równa się około 1,4 napięcia skutecznego, podanego dla każdej lampy (dla lampy 1762 — 3500 wolt).

Największe natężenie prądu stałego dla poszczególnych schematów wynosi: dla układów na



Rys. 6. Inne rozwiązanie prostownika 6-lampowego dla sieci trójfazowej.

rys. 3 — 2-krotną wartość największego prądu uzyskiwanego z 1 lampy,

rys. 4 — 3-krotną wartość największego prądu uzyskiwanego z 1 lampy.

rys. 5 — 4-krotną wartość największego prądu uzyskiwanego z 1 lampy,

rys. 6 — 6-krotną wartość największego prądu uzyskiwanego z 1 lampy.

Inż. J. Braun.

Wakacje letnie są najlepszą okazją do zmodernizowania swej inteligencji. Osiągniesz to przez zaczerpnięcie podstaw wiedzy technicznej. Najłatwiej ją zdobydziesz, oddając się radjoamatorstwu, które dotyka wszystkich, najbardziej nowoczesnych dziedzin techniki.

Zastosowanie fal ultrakrótkich

W państwach zachodnio-europejskich z coraz większą uwagą jest rozważana i badana możliwość zastosowania fal ultrakrótkich do nadawań radjofonicznych, co dałoby bardzo wiele korzyści zarówno przy nadawaniu jak i przy odbiorze.

W ostatnich czasach spotykamy się w piśmie coraz częściej z wiadomościami o postępach na polu fal ultrakrótkich. Nie zawsze są to wiadomości prawdziwe: często mają posmak sensacji. Naogół, jednak wszelkie te wiadomości są odbiciem zainteresowania, jakie w ostatnich czasach wzbudziły fale ultrakrótkie. W Niemczech poważnie zajęły się tą kwestją: firma Telefunken i Min. P. i T. które obecnie przeprowadzają systematyczne próby. W Oslo i Kopenhadze ustawione są obecnie stacje ultrakrótkofalowe. Niedawno przeprowadzono próby między Dover i Calais (patrz RAP Nr. 4 str. 184)

Poszczególne wiadomości przedostają się do ogółu, lecz nie dają całokształtu poglądu na to ciekawe zagadnienie.

Przed kilkoma tygodniami odbyła się w radju niemieckim ciekawa wymiana poglądów w sprawie fal ultrakrótkich między dr. inż. Reisserem (z Niemieckiego radja) oraz prof. dr. Lejthäuserem (z Instytutu im H. Hertza) Pogadanka ta uświadomiła radjo-słuchaczy w zasadniczych, mało dotychczas znanych kwestjach, dotyczących fal ultrakrótkich.

Zdaniem prof. Leithäusera obecnie niema żadnych poważnych przeszkód do stosowania fal ultrakrótkich. Jeśli tylko wyposażymy nadajnik w moc nie nazbyt małą, a więc ustawimy nadajnik o mocy conajmniej 0,6 kW w antenie, co odpowiada mocy na anodzie około 8 kW, to możemy liczyć z całą pewnością, że stacja nasza pokryje zasięgiem swoim cały teren wielkiego miasta nawet z przedmieściami. Licząc naogół, że średnica dużego miasta wynosi od 20 do 30 klm., widzimy że, naprzekór dawniej panującym poglądom, zasięg i rozprzestrzenianie się fal ultrakrótkich są dość znaczne.

Na podstawie doświadczeń prof. Esau (Jena) przypisywano falom ultrakrótkim właściwości podobne do właściwości światła. Zatem, dla sprawnego działania, na drodze

promienia ultrakrótkofalowego nie mogła być umieszczona żadna przeszkoda. Ten wzgląd, zdawałoby się przesądzał zawczasu możliwości użycia fal ultrakrótkich, zwłaszcza w miastach. Doświadczenia jednak prowadzone w Berlinie z falami rzędu 6 mtr. wykazały, że fale te ulegają znacznemu ugięciu się, tak że nie zachodzi konieczna potrzeba zachowania zasady wzajemnej widzialności stacji. Stwierdzenie powyższego zjawiska odrazu uprościło i rozwiązało kwestję możliwości użycia fal ultrakrótkich dla radjofonu wielkomięjskiego.

Jak wykazały doświadczenia, można odbierać radjofon krótkofalowy nawet w piwnicach. Dla polepszenia odbioru można było umieszczać na zewnętrznej stronie domów małe niewidoczne antenki.

Dawniej sądzono, że należy dążyć do umieszczenia anteny nadawczej możliwie wysoko nad ziemią, celem zwiększenia zasięgu („widzialności“). Obecnie ten pogląd uległ o tyle modyfikacji, że dla pokrycia zasięgu wielkomięjskiego wystarczy umieścić antenę na kilka metrów nad budynkiem przeciętnej wysokości.

Stosunkowo ważną sprawą jest kwestja przeszkód w ewentualnym radjofonie ultrakrótkofalowym. Zdaniem prof. Leithäusera przeszkody przy odbiorze fal ultrakrótkich nie zanikają zupełnie, lecz ulegają znacznemu osłabieniu. Szczególnie nieprzyjemne (i to znacznie silniejsze niż przy falach średnich) są przeszkody od magneta samochodów. To źródło przeszkód, jednak, dałoby się chociaż częściowo zlikwidować przed odpowiednie zarządzenie prawne i zastosowanie specjalnych osłon.

Ciekawą kwestją jest sprawa: czy i o ile radjofon krótkofalowy przeszkadzałby radjofonowi na falach normalnych? To zagadnienie jest szczególnie ważne, gdyż należy sobie uprzytomnić, że przynajmniej początkowo nie może być mowy o całkowitem za-

stąpieniu normalnego radjofonu przez ultrakrótkofalowy. Nie można narzucić radjofosłuchaczom zmiany dotychczasowych odbiorników na nowe i to w obecnych ciężkich czasach.

Pozatem kwestja odbioru stacyj dalekich przy pomocy fal ultrakrótkich nie jest jeszcze rozwiązana. Stacje normalne radjofoniczne muszą pracować jeszcze przez jakiś czas, aby się zamortyzowały. Doświadczenia przeprowadzone przez Instytut im. H. Hertza wykazały że, chociaż początkowo miały miejsce zakłócenia odbioru radjofonu przez nadajnik ultrakrótkofalowy, w jego najbliższym otoczeniu, to jednak, zakłócenia te dały się usunąć całkowicie przez staranne ekranowanie nadajnika i doprowadzenie anteny, oraz przez zaopatrzenie w dławiki wszystkich doprowadzeń odbiornika. Po zastosowaniu powyższych środków zapobiegawczych można było osiągnąć niezakłócony odbiór radjofonu w budynkach Instytutu podczas pracy nadajnika.

Kwestja najodpowiedniejszych układów odbiorczych ultrakrótkofalowych nie jest ostatecznie rozwiązana.

Dla odbioru miejscowego używa się zwykłych jednolampowych odbiorników audjonowych, które w połączeniu ze wzmacniaczem normalnego odbiornika radjofonicznego dają dobry i silny odbiór na głośnik.

Dla odbioru na dalsze odległości wchodzi

chwilowo w rachubę tylko odbiornik superreakcyjny prof. Esaa, który nie jest łatwy w użyciu i nie nadaje się dla radjofosłuchaczy.

Jak wynika z powyższego, wprowadzeniu radjofonu krótkofalowego, nie stoi (poza stroną inwestycyjno - finansową) nic poważnego na przeszkodzie.

Należy przypuszczać, że w najbliższym czasie radjofon ultrakrótkofalowy zostanie wprowadzony w większych miastach, jako urządzenie pomocnicze do radjofonu normalnego, dla transmitowania programu stacyj miejscowej.

Jeśli chodzi o sprawę telewizji ultrakrótkofalowej, to ta kwestja napotka jeszcze na znaczne trudności. W miastach niema specjalnych trudności, gdyż można ustawić telewizor obok nadajnika ultrakrótkofalowego, co jest najwygodniej. Daleko więcej skomplikowane urządzenie będzie potrzebne wtedy, gdy zajdzie potrzeba sterowania nadajnika ultrakrótkofalowego umieszczonego w znacznej odległości od centrali nadawczej

W tym wypadku należy doprowadzić nadawanie telewizyjne do nadajnika na dużą odległość. Tu będzie miała znaczny, szkodliwy wpływ, duża częstotliwość przenosząca, pozwalająca właśnie na uzyskanie obrazów, dzięki zastosowaniu fal ultrakrótkich.

W. A. Trembiński.



KTO FOTOGRAFUJE, WIĘCEJ PRZEŻYWA

NA URLOP
NA LETNISO

ZABIERZ Z SOBA
APARAT FOTOGRAFICZNY

Komplet z kliszami zł. 39-

Cenniki i prospekty wysyłamy po otrzymaniu znaczkami pocztowymi za 45 gr.

C. E. R.

CENTRALA ELEKTRO RADJOTECHNICZNA
Warszawa: ul. Elektoralna 30

Zł. 36. — idealny
aparat szkicownik
fotograficzny

ZEISS-IKON-BABY BOX

P. S. Zamówienia wykonujemy odwrotną pocztą za zaliczeniem.
Szybka i sprawna obsługa.

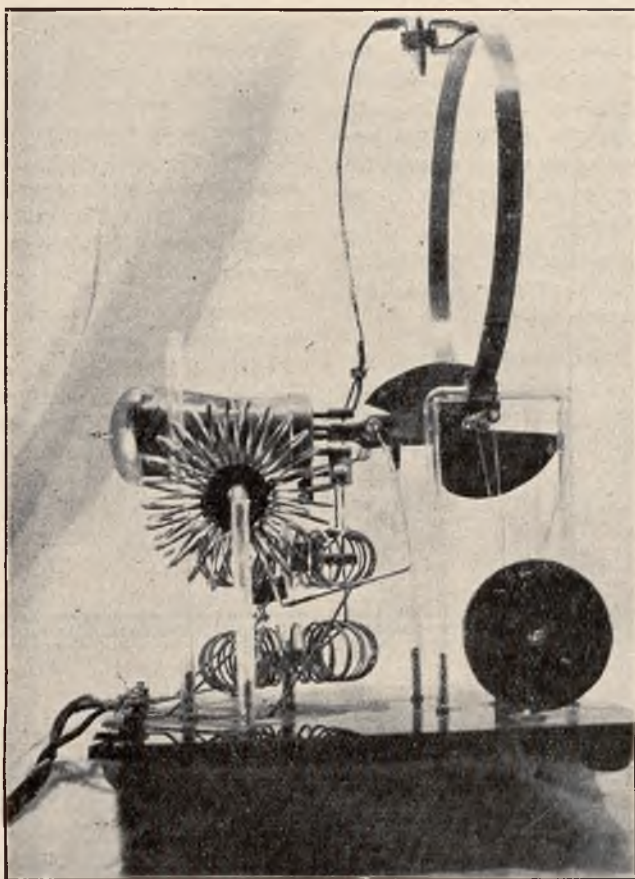
Toroidy jako dławiki

Cewki toroidalne, które początkowo (około roku 1926) wzbudziły w świecie radioamatorskim entuzjazm, jednakże po próbach nie przyjęły się z powodu niemożności regulowania sprzężeń elektro-magnetycznych i trudności przy wymianie cewek, jest jednak funkcja w której toroidy nie mają sobie równych — to dławiki.

Z tych, czy innych przyczyn cewki toroidalne nie przyjęły się. Pomimo pozornych zalet, nastrożają one nieco zawiele trudności konstrukcyjnych, są nie do po-

wi i nie da się zastąpić przez inną cewkę.

Wiemy, jak wielką rolę grają dławiki w technice krótkofalowej. Odpowiedni dławik warunkuje dobre działanie układu. Często



Rys. 1. Oscylator na fale 4-metrowe z dławikami toroidalnymi.

myślenia, jako cewki wymienne, nie pozwalają na regulację sprzężenia magnetycznego i t.p. Jest jednak jedno, może jedyne zastosowanie toroid — wymienione w tytule — gdzie toroida najzupełniej odpowiada celo-

układ, nie wymagający dławika, przy falach średnich nie działa zupełnie na falach krótkich, o ile nie posiada w tym, czy innym obwodzie odpowiedniej cewki dławikowej. Im bardziej skracamy falę, tem więcej mamy

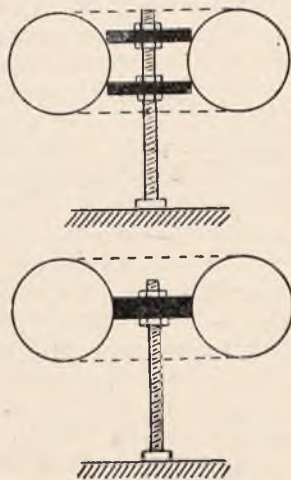
dławików i tem staranniejszej wymagają one budowy. Przy falach rzędu paru metrów najprostszy układ (np. Essau) wymaga już czterech dławików.

Następuje trudność rozmieszczenia ich w ten sposób, żeby nawzajem na siebie nie wpływały. Odsuwanie ich wywołuje przedłużenie połączeń — bardzo dla nas niepożądane, a umieszczanie blisko siebie jeszcze gorzej odbija się na działaniu układu.

Tu nam przychodzą w pomoc toroidy. Ze względu na słabe pole magnetyczne zewnętrzne można je umieszczać niemal tuż przy sobie. Trudności konstrukcyjne odpadają, gdy cewka ma kilkadziesiąt zwojów grubego drutu; wymary cewki są b. niewielkie. Co więcej, układ staje się mało wrażliwy np. na działanie ręki.

Dławik wykonujemy z grubego nieizolowanego drutu miedzianego (0,8 — 1,0 mm) Drut ten nawijamy na cylinder drewniany o średnicy 15 do 20 mm. (kij od szczotki). Robimy tyle zwojów, ile ich wymaga dławik (dla fal rzędu 20 m. — ca 40, dla fal 5 m. — 20), zdejmujemy spiralę z drążka. Z ebonitu wycinamy dwa krążki o średnicy 20 mm. i wiercimy pośrodku otowory 4 mm. Przez spiralę przewlekamy kawałek sznurka, lub lepiej gumy i wiążujemy tak, aby obwód sznurka był nieco mniejszy, jak na rys. 2. Przez otwory w krążkach przetykamy pręt gwintowany, który umocowujemy nakrętkami, a drugi koniec prętu możemy dowolnie obsadzić na desce montażowej.

Nieco inaczej jeszcze można zmontować toroidę (z grubego drutu), wiążąc koniec spirali kawałkiem sznurka i wciskając w środek krążek ebonitowy (rys. 3), który ewentualnie przyklejamy do uzwojenia roztworem celulozowym w acetonie.



Rys. 2 i 3. Dwa sposoby zamocowania cewek toroidalnych.

W ten sposób wykonane toroidy dawały mi doskonałe wyniki w układach odbiorczych i oscylatorach pracujących na 4, 15 i 20 metrach. Na fig. 3 widzimy zastosowanie dławików toroidalnych (4-ch) w oscylatorze 4-o metrowym.

Inż. St. Zieliński.

Święto pułku radjotelegraficznego

Pułk Radjotelegraficzny, stacjonowany w Warszawie, obchodzi w bieżącym roku swe święto w ciągu dwóch dni, mianowicie 28 i 29 czerwca.

Obchód święta rozpocznie uroczysty capstrzyk wieczorny, w dniu 27.VI.31 r., połączone z apelem poległych.

W dniu 28 czerwca o godz. 12-ej w Benjaminowie, gdzie obecnie stacjonuje 11 batalion Pułku Radjotelegraficznego, zostanie odsłonięty pomnik, wzniesiony pod protektoratem Pana Marszałka Józefa Piłsudskiego ku czci legionistów, internowanych przez Niemców w latach 1917—8.

W tymże dniu zostanie otwarty w Benjaminowie I-szy Obóz Przysposobienia Wojskowego Radjotelegraficznego.

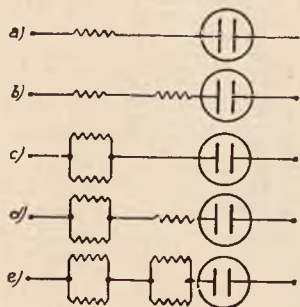
W dalszym ciągu uroczystości, w dniu 29 czerwca b. r., odbędzie się w Warszawie defilada oddziałów pułku, poprzedzona mszą polową.

O godz. 12 m. 30 program uroczystości przewiduje pokaz stacyj radjotelegraficznych. Zakończą obchód święta raut w kasynie oficerskim, oraz ogrodowy festyn żołnierski. —

Ilościowe pomiary elektryczne z neonówką

W n-rze 4 RAP z r. 1929 zamieściliśmy artykuł o dokonywaniu przybliżonych pomiarów oporu orientując się jedynie według obszaru świecenia neonówki. W artykule poniższym autor podaje nową metodę pomiarów z pomocą lampy neonowej, przy której, uzyskuje się znacznie większą dokładność pomiarów i w znacznie większym zakresie oporów.

Każdy niemal czynny radjoamator posiada znaczną ilość radjosprzętu, który w danej chwili leży bezczynnie. Wśród tych „gratów“ najwięcej zazwyczaj posiadamy oporów próżniowych i kondensatorów statycznych. Ja przynajmniej, w ciągu swej ośmiolatniej pracy radjoamatorskiej (posiadam dwunasty numer pozwolenia w Warszawie) uzbierałem tego sporo. Otóż z posiadanych oporów oraz lampy neonowej (a któż jej w pracowni niema?) możemy zrobić użytek, budując bardzo tanim kosztem przyrząd, który przy odrobinie wprawy odda nam nieocenione usługi w razie, jeśli nie posia-



Rys. 1. Kombinacje połączeń oporów z neonówką, jakie autor uzyskuje w swem urządzeniu pomiarowym, z rysunku 2.

damy precyzyjnych instrumentów pomiarowych.

Przyrząd opiera się na metodzie porównawczej; porównujemy jarzenie się neonówki w 2 wypadkach:

1) gdy jest ona połączona szeregowo z oporem nieznanym.

2) gdy jest połączona w szereg i oporem znanym.

Zastosowałem 12-cie posiadanych oporów znanych w ten sposób, że przy użyciu systemu przełączników mogę je łączyć w sposób następujący:

1) Każdy opór z osobna z neonówką (rys. 1-a)

2) Po 2 opory w szereg z neonówką (rys. 1-b)

3) Po 2 opory, połączone równolegle w szereg z neonówką (rys. 1-c)

4) Po 2 opory, połączone równolegle, w szereg z trzecim oporem i neonówką (rys. 1-d)

5) Po 2 opory, połączone równolegle, w szereg z grupą 2-ch innych oporów połączonych równolegle i z neonówką (rys. 1-e)

W ten sposób z posiadanych 12-u oporów uzyskałem wielką ilość oporów porównawczych.

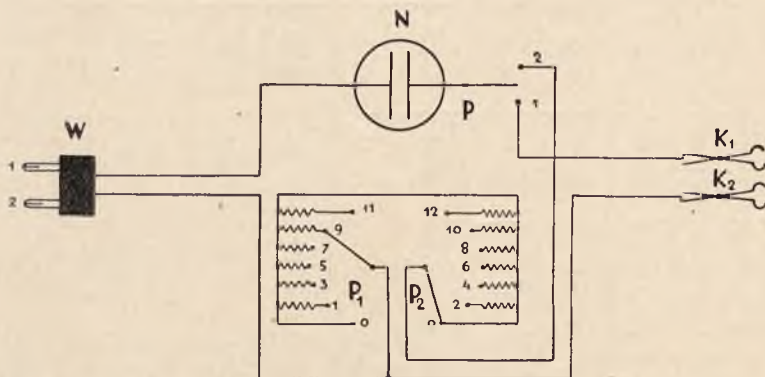
Schemat połączeń (rys. 2) jest tak prosty, że nie wymaga niemal wyjaśnień. Przełączniki P_1 i P_2 służą do przełączania oporów znanych w ten sposób, aby otrzymać odpowiednie kombinacje, są to zwykle manetki jednobiegunowe. Kontakty sąsiednie (n. p. 1 i 3, lub 2 i 4) winny być tak blisko siebie umieszczone, aby sprężyna kontaktowa mogła ich w razie potrzeby dotykać równocześnie.

Wówczas odnośne opory będą połączone równolegle). Korzystam z sieci prądu miejskiego w Warszawie (120 v, 50 okr.) przy pomocy wtyczki W. Opory badane przyłączam do końcówek K_1 i K_2 , zaopatrzonych w uchwyty sprężynowe. Przełącznik P umożliwia bardzo szybkie przełączenie neonówki na opór badany, lub na zespół oporów znanych. Wszystko zmontowane na tralicie.

W wyczerpującym artykule p. L. Gadowskiego (Nr. 4 R. A. P. 1929 r.) omówiono już sprawę różnic w jarzeniu się neonówki przy zastosowaniu różnych oporów. Przy oporach rzędu kilka M ω mamy tylko lekkie świecenie u dołu neonówki, przy oporach coraz mniejszych, sfera jarzenia przesuwana się ku górze spirali (przy

kilkudziesięciu tysiącach omów dochodzi prawie do szczytu. Z tego wynikałoby, że możemy mierzyć opory rzędu kilku M Ω do kilku setnych M Ω -a. Zakres ten jednak rozszerza się znacznie, jeśli dla oporów mniejszych orientować się będziemy nie według wielkości sfery jarzenia, (bo wtedy cała spirala się jarzy) lecz według siły światła tego jarzenia. Umożliwia nam to przełącznik P (Przy szybkim przełączaniu dostrzegamy różnice światła nawet pomiędzy 1000 omów i 0 omów) W ten sposób możemy mierzyć opory od 4 M Ω do 1000 omów (0, 001M Ω)

Dla łatwej orientacji budujemy specjalną tabelkę.



Rys. 2. Urządzenie do mierzenia porównawczego oporów przy pomocy neonówki.

W dalszym ciągu podam sposób mego postępowania przy posiadanych oporach:

1 = 0,5 M	7 = 0,02 M
2 = 1 "	8 = 0,05 "
3 = 2 "	9 = 0,005 "
4 = 3 "	10 = 0,003 "
5 = 0,1 "	11 = 0,001 "
5 = 0,7 "	12 = 0,002 "

Ponieważ Czytelnicy posiadają zapewne inne opory, lub inną zgoła ich ilość, tabelkę zaopatrzę w objaśnienia, pozwalające na zrekonstruowanie jej w innych warunkach.

W pierwszej kolumnie pionowej umieszczam numery oporów (względnie kontaktów) przełącznika P_1 (numery nieparzyste). W pierwszej kolumnie poziomej — numery oporów przełącznika P_2 (parzyste)

Pomiędzy poszczególnymi numerami opuszczam po jednej rubryce, którą oznaczam dwiema liczbami (n. p. między rubrykami 1 i 3 mamy rubrykę 1 — 3).

W drugiej kolumnie pionowej, nawprost numerów umieszczamy wartości odpowiednich oporów nieparzystych. W drugiej kolumnie parzystych — wartości oporów parzystych. W rubrykach o numerach podwójnych (n. p. 1 — 3, lub 2 — 4) umieszczam wartości oporów, które otrzymamy z równoległego połączenia 2-ch oporów (n. p. gdy manetka P_1 leży na kontakcie 1 i 3 mamy w rubryce 1 — 3: $R_{1-3} = \frac{R_1 \cdot R_3}{R_1 + R_3} = \frac{0,5 \cdot 2}{0,5 + 2} = 0,4$ gdy manetka P_2 leży na kontaktach 2 i 4 mamy w rubryce 2 — 4 opór R_{2-4} —

Dalej wypełniamy już wnętrze tabelki w ten sposób, że liczba, leżąca na skrzyżowa-

niu kolumny pionowej z poziomą stanowi sumę odnośnych oporów (poł. szeregowo).

Np. Gdy P_1 leży na 1, a P_2 na 2 mamy na skrzyżowaniu kolumn 1 i 2 opór 1 + 0,5 (rys. 3). Gdy P_1 leży na 1 i 3, zaś P_2 na 2 i 4 mamy układ z rys. 4. Wtedy na skrzyżowaniu kolumn 1 — 3 i 2 — 4 mamy opór $0,4 + 0,75 = 1,15$ megoma i t.d.

W ten sposób w każdym położeniu manetek z łatwością znajdziemy z tabelki wartość oporu.

Dotarliśmy więc do tabeli.

Widzimy więc, że pomimo powtarzania się niektórych wartości, oraz pomimo to, że niektóre ze znalezionych cyfr wykraczają poza granice czułości aparatu, a nawet dokładności oporów próżniowych — mamy wielką ilość zupełnie realnych oporów porównawczych.

Przy prądzie zmiennym możemy stosować zamiast kilku, lub nawet wszystkich oporów

N ^o	0	0-2	2	2-4	4	4-6	6	6-8	8	8-10	10	10-12	12
0	0	0	1	0,75	3	0,568	0,7	0,047	0,05	0,0028	0,003	0,0012	0,002
01	0	0	1	0,75	3	0,568	0,7	0,047	0,05	0,0028	0,003	0,0012	0,002
1	0,5	0,5	1,5	1,25	3,5	1,068	1,2	0,547	0,55	0,5028	0,503	0,5012	0,502
1-3	0,4	0,4	1,4	1,15	2,4	0,968	1,1	0,447	0,45	0,4028	0,403	0,4012	0,402
3	2	2	3	2,75	5	2,568	2,7	2,047	2,05	2,0028	2,003	2,0012	2,002
3-5	0,095	0,095	1,095	0,845	3,095	0,663	0,795	0,142	0,145	0,0978	0,098	0,036	0,007
5	0,1	0,1	1,1	0,85	3,1	0,668	0,8	0,147	0,15	0,1028	0,103	0,1012	0,102
5-7	0,017	0,017	1,017	0,767	3,017	0,585	0,717	0,064	0,067	0,0192	0,02	0,0182	0,010
7	0,02	0,02	1,02	0,77	3,02	0,588	0,72	0,067	0,07	0,0228	0,023	0,0212	0,022
7-9	0,004	0,004	1,004	0,754	3,004	0,572	0,704	0,054	0,54	0,0068	0,008	0,0052	0,006
9	0,005	0,005	1,005	0,755	3,005	0,573	0,705	0,052	0,055	0,0078	0,008	0,0062	0,008
9-11	0,00083	0,00083	1,00083	0,75083	3,00083	0,56883	0,70083	0,01783	0,05023	0,00363	0,0038	0,0022	0,00283
11	0,001	0,001	1,001	0,751	3,001	0,569	0,701	0,048	0,051	0,0038	0,004	0,0022	0,003

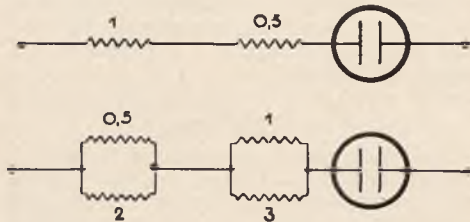
— kondensatory, obliczając ich opór pozorny

$$Z = \frac{1}{\omega C} \text{ gdzie } \omega = 2\pi f = 2\pi \cdot 50 = 314$$

lub, prościej, korzystając z wykresu podanego przez p. Gądkowskiego (R. A. P. Nr. 4 1929 r.)

A teraz kilka słów o zastosowaniu ich

- 1) Pomiar oporu nieznanego (n. p. brak etykiety z danymi oporu, chęć zbadania w jakim stopniu wartość oporu sylitowego uległa zmianie i t. d.) Przyłączamy opór do końcówek K_1 i K_2 , ustawiamy wtyczkę W w kontakt, (przełączamy P na 1 i obserwujemy świecenie neonówki, oceniając rząd wielko-



Rys. 3 i 4. Przykłady liczebne do obliczenia oporu badanego.

ci oporu, dobieramy następnie kolejno opory tego rzędu przełącznikami P_1 i P_2 , przełączając każdorazowo przełącznik P kilkakrotnie na 1 i 2, aż nie dojrniemy do najmniejszych różnic w świeceniu. Położenie manetek P_1 i P_2 oraz tabelka wskażą nam wartość oporu.

- 2) Pomiar oporów słuchawek, głośników, oporów wewn. lamp, wykonywamy analogicznie, ale prądem stałym (n. p. z aparatu anodowego)

- 3) Pomiar pojemności kondensatora odbywa się analogicznie; znajdziemy jego opór pozorny Z (przy pr. zmiennym), a z wykresu (R. A. P. Nr. 4, 1929) — pojemność

- 4) Pomiar indukcyjności dławika lub transformatora, przeznaczonego do aparatu anodowego.

Pomijając wpływ pojemności (mała częstotliwość) opór pozorny uzwojenia Z składa się z oporu omowego i indukcyjnego:

$$Z = \sqrt{R^2 + (\omega L)^2};$$

$$\omega = 314, \text{ zatem}$$

$$L = 0,00318 \sqrt{Z^2 - R^2}$$

gdzie L jest wyrażone w henrach (H), a Z i R — w omach $\omega \cdot Z$ znajdujemy, stosując prąd zmienny, zaś R — przy prądzie stałym. (baterje anod. lub aparat anodowy).

- 5) Pomiar izolacji anteny w czasie deszczu. Antenę przyłączamy do K_1 ziemię do K_2 , nóżkę 2-ą wtyczki W pozostawiamy wolną, a nóżkę 1 włączamy do kontaktu. Dalej postępujemy normalnie (korzystając z napięcia fazowego sieci).

Zakres czułości aparatu można rozszerzyć na opory 50 — 1000, wkładając zwykłą żarówkę na miejsce neonówki i dodając kilka małych oporów porównawczych.

Jerzy Widawer.

Radjo na „Empress of Britain”

Zainaugurowany niedawno największy i najszybszy okręt świata „Empress of Britain” jest pierwszym okrętem, na którym już w samym założeniu zaprojektowane szerokie stosowanie radjokomunikacji.

Specjalną cechą radjotechnicznej instalacji jest to, że każdy z pasażerów w czasie podróży może z własnej kabiny połączyć się z dowolnym abonentem telefonicznym w Anglii lub w Stanach Zjedn., a za pośrednictwem międzyrządowych radjotelegrafów — jeszcze dalej: w Australji, Indjach etc. koszt rozmowy telefonicznej z Anglią lub St. Zjedn. jest dosyć duży, gdyż za każdą minutę płaci się 30 szylingów, czyli przeszło 60 zł.

Inauguracja radjotelefonu tego odbyła się w nocy 18 czerwca, podczas pierwszej podróży „Empress of Britain” z odległości 210 mil od brzegu (Bischop Rock) a 750 mil od stacji korespondencyjnej w Savoy Hills. Pierwszą tę rozmowę retransmitowały dwie potężne radjofoniczne stacje angielskie, a mianowicie: Londyn - National i Daventry. Miljony słuchaczy mogli się dzięki temu przekonać osobiście o nieskazitelnej czystości słów odbieranych z okrętu. W ten sposób rozmowa ta stała się wielką manifestacją postępu techniki, a jednocześnie najlepszą reklamą dla „Empress of Britain i firmy Marconiego, która instalację tę budowała.

Z I E Ś W I A T A

NA FALACH ULTRA - KRÓTKICH.

W Kopenhadze dokonano w ostatnich czasach próby nadawania radijonicznych na fali 7 m, odbiór jednak, niestety, był ogromnie utrudniony ze względu na dokuczliwe przeszkody powodowane przez magneta samochodowe. Przeszkody te wszakże zniknęły gdy długość fali podniesiono do 9 i 10 metrów.

RADJO NA NAUTILUSIE.

Łódź podwodna Nautilus na której, jak wiadomo, kpt. Hubert Wilkins zamierzał dostać się na biegun północny została wyposażona w 200 - wutowy nadajnik, który ma aż 12 długości fal standaryzowanych a mianowicie: 800 m; 750; 731; 600; 54,3; 54; 45 3; 35,5; 33,6; 27; 22,6 i 18 m. Znak wywoławczy — WSEA. Próbné nadawania z portu New Jorku były odbierane w Sydneyu.

RADJO ZAMIAST CHŁODNI.

W Holandji zostały opublikowane ostatnio badania p. Roberta Pape'a nad możliwością konserwacji żywności przy pomocy fal ultrakrótkich. Wyniki jakie otrzymał przy tem — przeszły wszelkie oczekiwania. W obrębie 20 metrów odległości od generatora krótkofalowego, nadającego w zakresie od 25 cm. do 1 m, mięsa tygodniami całem pozostawały, pomimo wysokiej ciepłoty, zupełnie świeże — bez najmniejszego zapachu. Jajko rozbite i wylane na spodek, po kilku miesiącach, pomimo częściowego wyschnięcia, pozostało zupełnie świeżem, jajko zaś w skorupce po roku rozbite posiadało żółtko o świeżym kolorze i bez najmniejszego zapachu. Wynalazek Pape'a wywołał w kołach zainteresowanych zrozumiałe zaciekawienie.

OBALENIE PATENTU.

Toczący się od lat proces sądowy z powództwa „De Forest Radio Co“ przeciwko „General Electric Co“ o ważność patentu Langmuira na lampę próżniową został ostatecznie przez Sąd Najwyższy w Ameryce rozstrzygnięty na korzyść „De Forest Radio Co“. Jak wiadomo, odnośny patent Langmuira zastrzegł prawa autorskie na lampę katodową w której droga pomiędzy katodą a anodą przebiega przez wysoką próżnię. W ten sposób wszystkie urządzenia radijotechniczne, teletechniczne, medyczne i t.p. w których stosowano lampy wysokopróżniowe były uzależnione od patentu Langmuira i przedsiębiorstwa produkujące te przyrządy musiały płacić licencję firmie General Electric Co wzgl. jej reprezentacji zagranicznej.

Najwyższy Sąd Stanów Zjed., po zbadaaniu kwestji z naukowego punktu widzenia stanął na stanowisku, że skoro poprzednio

było już wiadomem że jonizacja gazów w lampie katodowej powoduje jednostajność prądu, czego niema w próżni, nie można więc nazwać wynalazkiem, postawienie wniosku, że lampa wysokopróżniowa da lepsze warunki wzmacniania.

RADJO A KSIĄŻKI.

Jak wykazały badania statystyczne w Ameryce, radjofonia nie tylko nie osłabiła zainteresowania publiczności do książki, ale przeciwnie — zainteresowanie to w wysokim stopniu podnosi. Oto w ciągu ostatnich sześciu lat, t. j. w czasie szalonego rozwoju radjofonii odbył się w Stanach Zjedn. równie wybitny rozwój czytelnictwa, który wyraził się powiększeniem liczby książek wydanych o 35.500.000.

MILITARYZACJA RADJOAMATORÓW W AMERYCE.

Niejednokrotnie pisaliśmy na tem miejscu o istnieniu w St. Zjed. potężnej organizacji wojskowo - radioamatorskiej, która perjodycznie odbywa ćwiczenia łączności, w których z zapałem uczestniczy tysiące krótkofalowców amerykańskich. Ostatnio w maju b. r. odbyły się czterodniowe ćwiczenia tego rodzaju. W ciągu tych czterech dni odbywało lot nad Ameryką dwanaście samolotów wojskowych wyposażonych w krótkofalowe aparaty nadawcze i odbiorcze. Zadanie polegało na tem, by samoloty te za pośrednictwem radioamatorów mogły utrzymać stałą łączność między sobą i ze swemi bazami operacyjnymi. Dla wygody radioamatorów ćwiczenia te odbywały się w godzinach popołudniowych i krótkofalowcy w ciągu tych czterech dni pilnie wysiadywali przy swoich aparatach od g. 6 wieczór do późnej nocy przyjmując i nadając według zgóry umowionej „drogi urzędowej“ depeze urzędowe. Ćwiczenia te udały się świetnie wykazując nadzwyczaj wysoki stopień sprawności patriotycznych krótkofalowców.

„EMPRESS OF BRITAIN.“

Uruchomiony niedawno olbrzym transatlantyki posiada świetnie urządzoną radiokomunikację, pozwalającą pasażerom rozmawiać z własnych kabin z przyjaciółmi pozostałymi w domu.

Aparatura zajmuje 3 duże hale. Radiokomunikacja odbywa się na falach średnich i krótkich, przeczem z tych ostatnich długość ali od 21 do 24 metrów jest używana przy odległościach długich podczas dnia, a od 65 do 74 podczas nocy i dla odległości krótkich.

Moc fali nośnej wynosi około 20 kilowatów i odpowiada mocy używanej w większości stacyj radiowych nadawczych angielskich. W wykonaniu f-my „Marconi“.

Z naszej korespondencji

W Pan J. Wiśniewski.

Pisze Pan, że zbudował sobie jednoskalową zelektryfikowaną Nemodynę i na antenie jednometrowej odbiera mnóstwo stacji na głośnik z siłą nawet za wielką, jak na normalny pokój, ale selektywność jest niedostateczna. (Niektóre stacje zachodzą na siebie)

Na zwiększenie selektywności w tych warunkach jest kilka sposobów.

1) Rozsunąć jaknajdalej cewki filtru (L_1 i L_2) lub ewentualnie obrócić jedną względem drugiej o pewien kąt.

2) Zastosowanie eliminatora.

3) Zmniejszenie oporu opornika antenowego (opór regulowany).

4) Ekranowanie całego aparatu.

Najradykałniej jednak można zwiększyć selektywność przez zastosowanie przeciwwagi zamiast uzziemienia.

W Pan Stefan Kłapacz — Lwów.

Uskarża się Pan na niedostateczną selektywność zbudowanego przez siebie odbiornika „Super 30”. Z podanych przez Niego szczegółów widzimy, że kondensator C_5 zastosował Pan niewłaściwie. Pojemność jego winna wynosić 1000 cm. Jest to ważne, gdyż obwód L_4C_5 musi być w przybliżeniu dostrojony do obwodu L_5C_6 .

Dalsze zwiększenie selektywności można jeszcze osiągnąć przez rozsuniecie cewek L_1 — L_2 i obu części L_3 , a następnie przez zekranowanie całego aparatu. Przy dużej antenie zewnętrznej dobrze jest wstawić szeregowo z anteną kondensator stały o pojemności ok. 100 cm.

W Pan Roman Kułynicz — Bóbrka.

W sprawie ekranów: dotychczas wykonane ekranowanie odbiornika nie powinno wpływać w sposób dostrzegalny na siłę odbioru, czy zasięgu danego odbiornika. Osłabienie pracy aparatu może powstać tylko wtedy, jeżeli ekran został przeprowadzony zbyt blisko cewek: wtedy prądy szybkozmienne w cewkach indukują w ekranie prądy wirowe, które powodują straty w odbiorze.

Zastosowanie eliminatora—owszem wpływa na zmniejszenie zasięgu i siły odbioru, ale nie w tym stopniu, co Pan pisze.

Przypuszczamy więc że podczas ekranowania aparatu musiał Pan zrobić jakieś zmiany, do tego dołączyły się straty w eliminatorze i... (bardzo ważne!) w atmosferze, skutkiem nastania wiosennej pogody, co, jak wiadomo wpływa nader ujemnie na rozprzestrzenianie się fal! Prosimy pamiętać, że w cieplej porze roku odbiór jest zawsze znacznie gorszy niż w zimnej!

Co się tyczy Hemidyny — jest ona se-

lektywniejsza od Nemodyny, ale selektywność ta została osiągnięta kosztem wydajności odbiornika. Hemidyna da Panu mniej stacji i ciszej niż Nemodyna.

Zastosowanie w „Hemidynie” pentody oczywiście jest dopuszczalne i nie przewidujemy przy tem żadnych komplikacyj. Zamiast sprzężenia oporowego pomiędzy lampami I i II można oczywiście zastosować transformatorowe. Transformator o przekł. 1 : 5 można zastosować wtedy, jeżeli drugą ma przekładnię $\frac{1}{2}$ lub mniejszą. W przeciwnym razie mogą powstawać zniekształcenia.

Anteny ziemne wynalezione przez amerykańców w r. 1925 nie przyjęły się. Tylko jeden z naszych czytelników zawiadomił nas że zbudował taką antenę i otrzymał przy niej większą selektywność i mniejsze trzaski. Pozatem nie mamy żadnej praktyki co do anten podziemnych.

O stosunku wydajności Hemidyny i Nemodyny pisaliśmy wyżej. „Super 30” daje wyniki tak różne u różnych radioamatorów że trudno ściśle określić jego miejsce. W każdym razie jest to odbiornik najtrudniejszy do wykonania i operowania ze wszystkich naszych artykułów montażowych za ostatnie 2 — 3 lata.

Eliminator i filtr stanowią jedno. Różnica polega na tem, że filtr jest nazwą ogólniejszą a eliminator oznacza jedną z odmian filtru.

W Pan Wiśniewski — Równe.

Pan źle przeczytał pojemność kondensatora C_1 . Na str. 153 szp. I w. 5 od g. jest wyraźnie: $C_1 = 1 \mu F$ (Filtrad) co znaczy: $C_1 = 1$ mikrofarad. „Filtrad” zaś — jest to nazwa firmy wyrabiającej kondensatory zastosowane w danym wypadku.

Cztery końcówki a niekiedy i 8 w kondensatorach większych rozmiarów robi się dla wygody w montażu. Końcówki te są przymocowane po dwie wzgl. po 4 do dwóch tylko okładcini kondensatora.

W Pan Stanisław Michniacki — Kalisz.

Wewnętrzne ekranowanie w Hemidynie jest zbyteczne. Wogóle zaś ekran wewnętrzny przeprowadza się w ten sposób, by przewody, wzgl. części składowe jak cewki, kondensatory etc. z prądem wielkiej częstotliwości o różnych napięciach i natężeniach były oddzielone od siebie ekranem, a więc obwód antenowy (w Hemidynie) L_1 , C_1 i dolna połowa lampy ekr.) od obwodu anodowego lampy ekr. Często ten ostatni (a więc: góra lampy ekr., L_2 , L_3 , C_2 i C_3) zamyka się w „boxie” co stanowi wyższy stopień ekranowania. Ekran (wzgl. box) uziemia się.

SZCZYTEM PRECYZJI SĄ WYROBY „IKA“

Transformatory do sieci.
Dławiki.
Kondensatory Logarytmiczne.
Kondensatory mikowe.
Przełączniki
Głośniki Elektro - Dynamiczne.

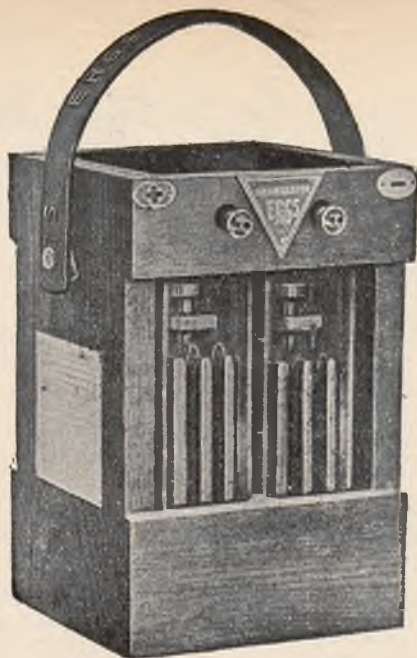
Zakłady Radjotechniczne

„IKA“

Łódź, Cegielniana 40

Przedstawiciel. H. Zysman
Warszawa,

ul. Emilji Plater 30, tel. 273-88



„ERGS“ PIERWSZA KRAJOWA
FABRYKA AKUMULATORÓW
WARSZAWA, ELEKTORALNA 10. TEL. 193-59

ZAKŁADY RADJOTECHNICZNE NATAWIS

mają zaszczyt zawiadomić Szan. Klijentelę, że skład
fabryczny i biura Centrali przeniesione zostały
NA ULICĘ KRÓLEWSKĄ 25

CENTRALA:
WARSZAWA, KRÓLEWSKA 25

ODDZIAŁY:

WARSZAWA, Marszałkowska 141

ŁÓDŹ, Piotrkowska 152.

KRAKÓW, Starowiślna 17

PRZEDSTAWICIELSTWA:

LWÓW: T. KOROLCZUK,

Zygmuntowska 4

POZNAŃ, AL. GAPONOW

Św. Marcin 74.



NAWET NAJLEDEJ ZBUDOWANY
APARAT PRZYNIESIE CI TYLKO
ROZCZAROWANIE, GDY JEGO
LAMPY SĄ JUŻ ZUŻYTE

NOWY KOMPLET
LAMP BAROWYCH

TUNGSRAM
TO JEDYNY RATUNEK!

ZJEDNOCZONA FABRYKA ŻARÓWEK S. A.

„TUNGSRAM”

WARSZAWA, UL. NOWOWIEJSKA 13

N O



R A

ODBIORNIKI DO SIECI NA ROK 1931.

W2 PR. ZMIENNY
G2 PR. STAŁY

2 lampowy odbiornik odbiera mocne stacje europejskie na głośnik.

W3 PR. ZMIENNY
G3 PR. STAŁY

3 lampowy odbiornik — z głośnikową lampą ekranowaną — eliminuje stację miejscową, dając dużo stacyj europejskich.

W3L PR. ZMIENNY
G3L PR. STAŁY

3 lampowy odbiornik z wbudowanym głośnikiem 4-ro biegunowym i lampą ekranową oraz głośnikową eliminuje stację miejscową, daje dużo stacyj europejskich.

S4W PR. ZMIENNY
S4G PR. STAŁY

4 lampowy odbiornik — ekranowany, bardzo selektywny, wyłącza każdą żądaną stację o najmniejszej różnicy fali, dając najśłabsze stacje europejskie

G Ł O Ś N I K
4 BIEGUNOWY
L24

oddaje do złudzenia muzykę i mowę od najniższych do najwyższych tonów.

JEŻELI CHCECIE POWIĘKSZYĆ SWÓJ OBRÓT, ZAPROWADŹCIE NATYCHMIAST NAJNOWSZE ODBIORNIKI **NORA** POWIĘKSZYCIE LICZBĘ SWOICH KLIENTÓW GDYŻ APARATY **NORA** ZADOWOLĄ NAJWYBREDNIEJSZEGO RADJOAMATORA.

JENERALNA REPREZENTACJA NORA - RADJO

Sp. Akc. „WOLTAR“ Warszawa, Królewska 27.